

## Equação de Laplace

Lembran ideia eletrostática (veja pg. 3): determinar a força que um conjunto de cargas elétricas  $q_1, \dots, q_n$  /  $\rho(\vec{r})$  em repouso exercem sob uma carga elétrica  $q$  (teste)

ou, alternativamente: determinar o campo elétrico  $\vec{E} = \vec{E}(\vec{r})$  devido a um conjunto de cargas elétricas  $q_i$  ( $i=1, \dots, n$ ) /  $\rho(\vec{r})$  em repouso

Em princípio,  $\vec{E}(\vec{r})$  pode ser calculado via Eq. (9.1):

$$\vec{E}(\vec{r}) = \frac{1}{4\pi\epsilon_0} \int_V d^3r' \rho(\vec{r}') \frac{\vec{r} - \vec{r}'}{|\vec{r} - \vec{r}'|^3}$$

ou, alternativamente, podemos determinar o potencial elétrico  $V = V(\vec{r})$  associado à distribuição de cargas em repouso via Eq. (30.2):

$$V(\vec{r}) = \frac{1}{4\pi\epsilon_0} \int_V d^3r' \rho(\vec{r}') \frac{1}{|\vec{r} - \vec{r}'|}$$

$$\oplus \quad \vec{E} = -\vec{\nabla}V$$

entretanto: - em alguns casos, cálculo das integrais: difícil !!!

-  $\rho(\vec{r})$  não é inicialmente conhecido, e.g., em sistemas envolvendo condutores

• Alternativa p/ o cálculo  $V(\vec{r})$ : utilizar a forma diferencial da Eq. (30.2), i.e., Eq. (39.1):

$$\nabla^2 V = -\frac{1}{\epsilon_0} \rho(\vec{r}) \quad : \quad \text{Eq. de Poisson}$$

⊕ condições de contorno apropriadas (veja abaixo).

em alguns casos, estamos interessados em determinar  $V(\vec{r})$  em regiões do espaço tais que  $\rho(\vec{r}) = 0$ :

$$\text{Eq. (39.1)} \rightarrow \nabla^2 V = 0 \quad : \quad \text{Eq. de Laplace} \quad (63.1)$$

em particular, em coordenadas cartesianas:

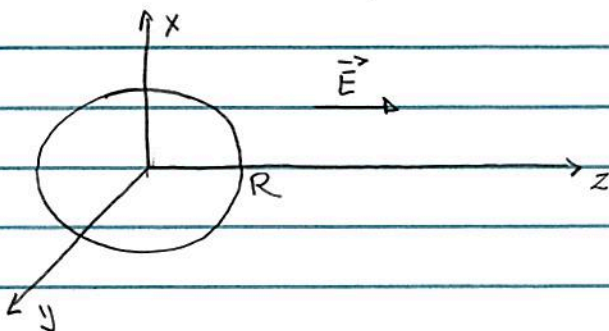
$$\frac{\partial^2 V}{\partial x^2} + \frac{\partial^2 V}{\partial y^2} + \frac{\partial^2 V}{\partial z^2} = 0 \quad (63.2)$$

notas: Eq. (63.2) : Eq. diferencial parcial !

outras : determinam solução (63.1) p/ certas condições de contorno

Ex.: Exemplo 3.8, G: consideram esfera condutora neutra, raio  $R$ , centro = origem, sob campo elétrico uniforme  $\vec{E} = E_0 \hat{z}$ .

↳ Q.: Qual o potencial  $V(\vec{r})$  p/  $r > R$ ?



(veja pg. 80)



Obs.: Determinação de soluções analíticas das Eqs. de Laplace e Poisson em teoria do potencial (veja Sec. 7.2, Zangwill)

método sol. Eq. (63.1): separação de variáveis

inicial: algumas considerações sobre a solução geral Eq. (63.1)

• Teorema: se  $v_1, v_2, \dots, v_n$  são soluções da Eq. Laplace

$$\hookrightarrow v(\vec{r}) = \sum_{i=1}^n C_i v_i(\vec{r}),$$

onde  $C_i$  são ctes arbitrárias, e sol. Eq. de Laplace.

Demonstração: Como o Laplaciano  $\nabla^2$  é um op. linear

$$\hookrightarrow \nabla^2 v = \nabla^2 \left( \sum_i C_i v_i \right) = \sum_i C_i \nabla^2 v_i = 0$$

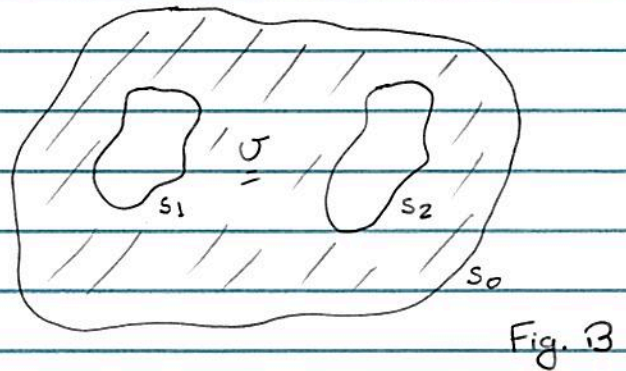
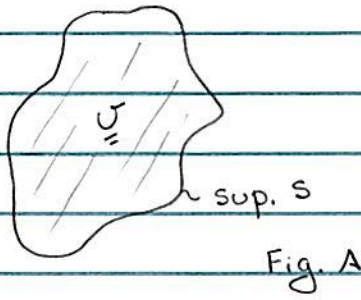
• Teoremas de unicidade,

\* verifica-se que, determinada uma solução das Eqs de Laplace e Poisson que satisfaz as condições de contorno fixadas  
 $\hookrightarrow$  essa é a solução = a solução é única!

• Teorema de unicidade I:

Considerar volume  $V$  cuja fronteira = superfície  $S$  (Fig. 4)

$\hookrightarrow$  A solução  $v(\vec{r})$ ,  $\vec{r} \in V$ , da Eq. de Laplace é única se  $v(\vec{r})$  p/  $\vec{r} \in S$  é conhecida.



Demonstração:

hipótese:  $V_I$  e  $V_{II}$  são soluções da Eq. de Laplace que satisfazem as mesmas condições de contorno, i.e.,

$$\nabla^2 V_I = 0, \quad \nabla^2 V_{II} = 0 \quad \text{e} \quad V_I(\vec{n}) = V_{II}(\vec{n}), \quad \vec{n} \in S$$

seja  $\Phi = V_I - V_{II}$

$$\hookrightarrow \nabla^2 \Phi = \nabla^2 (V_I - V_{II}) = 0 \quad \text{e} \quad \underbrace{\Phi(\vec{n}) = 0}_{\text{c.c. (*)}} \quad \forall \vec{n} \in S$$

i.e.,  $\Phi$  satisfaz a Eq. de Laplace  $\oplus$  condições de contorno (\*)

verifica-se que (veja abaixo): se  $V(\vec{n})$  é sol. da Eq. de Laplace  $\rightarrow$  máximos/mínimos (\*\*)  
 $V(\vec{n})$  estão localizados na fronteira do volume  $\underline{U}$

c.c. (\*)  $\oplus$  (\*\*)

$$\hookrightarrow \Phi_{\text{MIN}} = \Phi_{\text{MAX}} = 0 \quad \rightarrow \quad \Phi(\vec{n}) = 0 \quad \forall \vec{n} \in \underline{U}$$

$$\hookrightarrow V_I(\vec{n}) = V_{II}(\vec{n}).$$



Demonstração alternativa:

considerar a identidade (5), pg. 161,

$$\vec{\nabla} \cdot (v \vec{\nabla} v) = |\vec{\nabla} v|^2 + v \nabla^2 v$$

Teor. de Gauss

$$\hookrightarrow \int_{\mathcal{V}} d^3r |\vec{\nabla} v|^2 + \int_{\mathcal{V}} d^3r v \nabla^2 v = \int_{\mathcal{V}} \vec{\nabla} \cdot (v \vec{\nabla} v) d^3r = \oint_S (v \vec{\nabla} v) \cdot d\vec{s} \quad (66.1)$$

em particular, p/  $v = \Phi$ :

$$\int_{\mathcal{V}} d^3r |\vec{\nabla} \Phi|^2 = \oint_S (\Phi \vec{\nabla} \Phi) \cdot d\vec{s}$$

= 0, pois  $\Phi(\vec{n}) = 0$  p/  $\vec{n} \in S$

$$\hookrightarrow \int_{\mathcal{V}} d^3r |\vec{\nabla} \Phi|^2 = 0$$

$\rightarrow \vec{\nabla} \Phi = 0 \rightarrow \Phi = \text{cte}$

como  $|\vec{\nabla} \Phi|^2 \geq 0$

$\hookrightarrow V_I = V_{II} + \text{cte}!$

Obs.: resultado pode ser generalizado p/ o caso  
volume  $\mathcal{V}$  = volume exterior conjunto de  
superfícies  $S_i$  (Fig. B)

nesse caso,  $v(\vec{n})$ ,  $\vec{n} \in S_i$ , é conhecida

Obs.: - condição de contorno  $v(\vec{n})$ ,  $\vec{n} \in S$ , conhecida:  
condições de contorno de Dirichlet

- condição de contorno  $\hat{n} \cdot \vec{\nabla} v(\vec{n})$ ,  $\vec{n} \in S$ , conhecida:  
condições de contorno de Neumann

- ambas  $V(\vec{r})$  e  $\hat{n} \cdot \vec{\nabla} V(\vec{r})$ ,  $\vec{r} \in S$ , conhecidas:  
condições de contorno de Cauchy.

Ex. 1: sistema = 2 condutores,  
 potencial sup. dos condutores  $V_1$  e  $V_2$ , ctes!  
 $S_0 \rightarrow +\infty \oplus V_0 = 0$ .

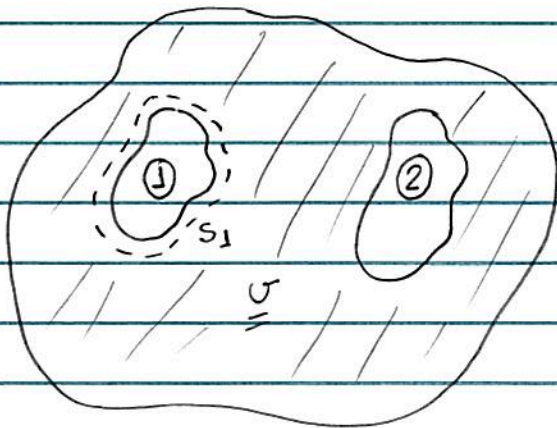
Ex. 2: sistema = 2 condutores,  
 $Q_1$  e  $Q_2$ : carga total dos condutores

notas: condições de contorno Ex. 1  $\neq$  Ex. 2.

p/ o segundo caso, onde apenas a carga total de cada condutor é conhecida, verifica-se que a solução  $V(\vec{r})$  da Eq. de Laplace é única!

• Teorema de unicidade II:

considerar volume  $\mathcal{V}$  exterior a um conjunto de condutores tal que a carga total  $Q_i$  em cada condutor é conhecida  
 $\hookrightarrow$  a solução  $V(\vec{r})$  da Eq. de Laplace é única.





Demonstração: de modo análogo ao teorema I,

hipótese:  $V_I$  e  $V_{II}$  são soluções da Eq. de Laplace

$$\text{se } \phi = V_I - V_{II} \rightarrow \nabla^2 \phi = 0$$

pr a sup. Gaussiana  $S_i$  que envolve o condutor  $i$ ,

$$\oint_{S_i} (\vec{E}_I - \vec{E}_{II}) \cdot d\vec{s} = \frac{1}{\epsilon_0} (Q_i - Q_i) = 0 = \oint_{S_i} \vec{\nabla}(V_I - V_{II}) \cdot d\vec{s}$$

$$\hookrightarrow \oint_S \vec{\nabla} \phi \cdot d\vec{s} = 0$$

Eq. (66.1) pr  $V = \phi$ :

$$\int_V d^3r |\vec{\nabla} \phi|^2 + \underbrace{\int_V d^3r \phi \nabla^2 \phi}_{=0} = \underbrace{\oint_S \phi \vec{\nabla} \phi \cdot d\vec{s}}_{(I)}$$

como  $\phi(\vec{n}) \equiv \phi_i = \text{cte}$  pr  $\vec{n} \in S_i$

$$\hookrightarrow (I) = \sum_i \phi_i \oint_{S_i} \vec{\nabla} \phi \cdot d\vec{s} = 0$$

$$\hookrightarrow \int_V d^3r |\vec{\nabla} \phi|^2 = 0$$

de modo análogo ao teorema I  $\rightarrow V_I = V_{II} + \text{cte}!$

notas dos teoremas I e II:

T. I :  $V(r) = V_i \sim$  superfície  $S_i$  é conhecido

T. II :  $V_i \sim$  sup.  $S_i$  não é conhecido. Foi utilizado na demonstração apenas que  $V_i = \text{cte}$ , i.e.,  
sup. condutor = equipotencial!

• Sobre o resultado (\*\*), pg. 65,

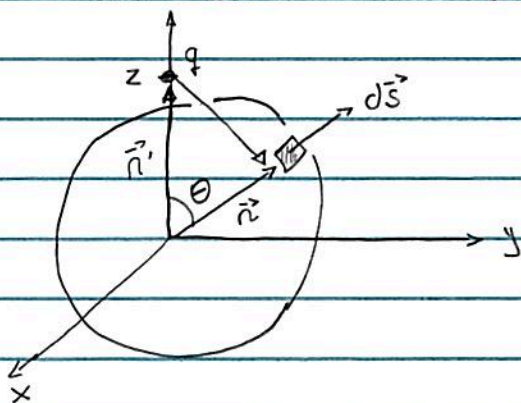
vamos verificá-lo em duas etapas,

(i) Se  $V = V(\vec{r})$  é sol. da Eq. de Laplace e  $S =$  superfície esférica, raio  $R$ , centro = origem

$$\hookrightarrow \oint_S V(\vec{r}) dS = 4\pi R^2 V(\vec{r} = 0) \quad (69.1)$$

Demonstração:

considerar  $V(\vec{r})$  devido à carga pontual  $q$  @  $(0,0,z)$ ,  
 $z > R$ !



p/  $\vec{r} \in \text{sup. } S$ :

$$V(\vec{r}) = \frac{1}{4\pi\epsilon_0} \frac{q}{|\vec{r} - \vec{r}'|}$$

como :  $ds = r^2 \sin\theta d\theta d\varphi$

$$|\vec{r} - \vec{r}'| = (r^2 + r'^2 - 2\vec{r} \cdot \vec{r}')^{1/2} = (r^2 + r'^2 - 2rr' \cos\theta)^{1/2}$$

$$= (R^2 + z^2 - 2Rz \cos\theta)^{1/2}$$



$$\begin{aligned}
 \hookrightarrow \oint_S V(\vec{r}) ds &= \frac{q}{4\pi\epsilon_0} \int_0^\pi \underbrace{R^2 \sin\theta}_{\frac{1}{Rz} (R^2 + z^2 - 2Rz \cos\theta)^{1/2}} \int_0^{2\pi} d\varphi \\
 &= \frac{q}{4\pi\epsilon_0} \frac{R^2}{Rz} \left( (R+z) - \underbrace{|R-z|}_{z-R, \text{ pois } z > R} \right) \cdot 2\pi \\
 &= \frac{q}{4\pi\epsilon_0 z} \cdot 4\pi R^2 \quad (70.1) \\
 &\quad \underbrace{\hspace{1.5cm}}_{V(0)}
 \end{aligned}$$

pt N- cargas pontuais  $q_i$   $\notin$  interior da esfera S,

Eq. (70.1)  $\oplus$  princípio de superposição  $\rightarrow$  Eq. (69.1)!

notas: podemos escrever (69.1) como

$$\frac{1}{4\pi R^2} \oint_{\text{Esfera}} V(\vec{r}) ds = V(0) : \text{valor médio de } V(\vec{r}) \text{ sob uma superfície esférica} = V(0)$$

(ii) Eq. (69.1)  $\rightarrow$   $V(\vec{r})$ , sol. Eq. de Laplace, não admite máximos/mínimos locais, i.e., valores extremos de  $V(\vec{r})$  @ fronteiras volume  $V$

Com efeito, se  $V(\vec{r})$  apresenta máximo (mínimo) local em  $\vec{r} = \vec{r}_0$

$$\hookrightarrow \frac{1}{4\pi R^2} \oint_{\text{Esfera, raio } R, \text{ centro } \vec{r}_0} V(\vec{r}) ds < V(\vec{r}_0) \quad ( > V(\vec{r}_0) ) : \text{contradição!}$$

• Solução Eq. de Laplace via método de separação de variáveis,

idea: considerar volume  $V$  e fronteira conjunto superfícies  $S_i$

$V(\vec{r})$  ou  $\sigma(\vec{r})$ ,  $\vec{r} \in \text{sup. } S_i$ , conhecida

hipótese: sup.  $S_i$  apresenta simetria particular, e.g., cartesiana, esférica, cilíndrica.

simetria sup.  $S_i \rightarrow$  escolha sistema  $T$  coordenadas  $(u, v, w)$ .

$\hookrightarrow$  hipótese solução geral Eq. de Laplace:

$$V(\vec{r}) = V(u, v, w) = A(u)B(v)C(w) \quad (71.1)$$

Eq. de Laplace  
= eq. diferencial  
parcial

$\xrightarrow{\quad}$   
 $\uparrow$   
(71.1)

3 eqs. diferenciais ordinárias  
2ª ordem

⊕

3 ctes de separação

A fim de ilustrar o método, vamos considerar uma série de exemplos

• inicial: sobre conjunto completo de funções ortogonais

considerar: conjunto de funções  $f_k(x)$ ,  $a \leq x \leq b$ ,  $k=1, 2, \dots$

Definição:  $f_k(x)$  é um conjunto completo de funções se e só se  $f(x)$ ,  $a \leq x \leq b$ , pode ser escrita como uma combinação linear  $f_k(x)$ , i.e.,



$$F(x) = \sum_k C_k \psi_k(x) \quad (72.1)$$

A completudeza de um conjunto de funções pode ser escrita como

$$\sum_k \psi_k^*(x') \psi_k(x) = \delta(x-x') \quad ; \quad a \leq x, x' \leq b \quad (72.2)$$

É fácil verificar que (72.2)  $\rightarrow$  (72.1) :

$$F(x) = \int_a^b dx' \delta(x-x') F(x') \quad ; \quad a \leq x, x' \leq b$$

$$= \sum_k \underbrace{\int_a^b dx' F(x') \psi_k^*(x') \psi_k(x)}_{\equiv C_k} \quad : \text{ Eq. (72.2)}$$

notar : se  $F(x) = \psi_j(x) \rightarrow C_k = \delta_{kj}$

$$\hookrightarrow \int_a^b dx \psi_k^*(x) \psi_j(x) = \delta_{kj} \quad : \text{ relação de ortogonalidade} \quad (72.3)$$

Obs.: notar similaridade com a representação de um vetor em uma base  $\underline{B}$  (veja pg. 3<sup>na</sup>).

(1) Solução Eq. de Laplace, simetria cartesiana

$$\nabla^2 v = \frac{\partial^2 v}{\partial x^2} + \frac{\partial^2 v}{\partial y^2} + \frac{\partial^2 v}{\partial z^2} = 0 \quad (72.4)$$

se  $v(\vec{r}) = v(x, y, z) = X(x) Y(y) Z(z)$  em (72.4) :

$$YZ \frac{d^2 X}{dx^2} + XZ \frac{d^2 Y}{dy^2} + XY \frac{d^2 Z}{dz^2} = 0$$

$$\frac{1}{v} : \frac{1}{X} \frac{d^2 X}{dx^2} + \frac{1}{Y} \frac{d^2 Y}{dy^2} + \frac{1}{Z} \frac{d^2 Z}{dz^2} = 0 \quad (73.1)$$

notas: cada termo (73.1) é função de apenas 1-variável;  
como soma termos = 0  $\rightarrow$  cada termo = cte

podemos escrever

$$\frac{d^2 X}{dx^2} = \alpha^2 X ; \quad \frac{d^2 Y}{dy^2} = \beta^2 Y ; \quad \frac{d^2 Z}{dz^2} = \gamma^2 Z$$

onde  $\alpha^2 + \beta^2 + \gamma^2 = 0$  ;  $\alpha, \beta, \gamma$ : ctes de separação

temos que:

$$X_\alpha(x) = \begin{cases} A_0 + B_0 x & , \alpha = 0 \\ A_\alpha e^{\alpha x} + B_\alpha e^{-\alpha x} & , \alpha \neq 0 \end{cases}$$

$$Y_\beta(y) = \begin{cases} C_0 + D_0 y & , \beta = 0 \\ C_\beta e^{\beta y} + D_\beta e^{-\beta y} & , \beta \neq 0 \end{cases} \quad (73.2)$$

$$Z_\gamma(z) = \begin{cases} E_0 + F_0 z & , \gamma = 0 \\ E_\gamma e^{\gamma z} + F_\gamma e^{-\gamma z} & , \gamma \neq 0 \end{cases}$$

notas: soluções são notuladas pelas ctes de separação

solução

$$\text{geral: } v(\vec{r}) = \sum_{\alpha, \beta, \gamma} X_\alpha(x) Y_\beta(y) Z_\gamma(z) \delta(\alpha^2 + \beta^2 + \gamma^2) \quad (73.3)$$



## Lembranças: Série de Fourier

considerar função  $f = f(x)$  tal que

- $f$  é periódica, período  $L$
- "single-valued" e contínua por partes (= # descontinuidades finito)
- # máximos e mínimos finito em  $L$  (73.4)

$$- \int_{x_0}^{x_0+L} dx |f(x)| < +\infty$$

$L > f = f(x)$  pode ser expandida em uma série de  $\sin(x)$  e  $\cos(x)$ , i.e.,

$$f(x) = \frac{1}{2} a_0 + \sum_{n \geq 1} a_n \cos\left(\frac{2\pi n x}{L}\right) + b_n \sin\left(\frac{2\pi n x}{L}\right) \quad (73.5)$$

onde

$$a_n = \frac{2}{L} \int_{x_0}^{x_0+L} dx f(x) \cos\left(\frac{2\pi n x}{L}\right)$$

$$b_n = \frac{2}{L} \int_{x_0}^{x_0+L} dx f(x) \sin\left(\frac{2\pi n x}{L}\right) \quad (73.6)$$

• determinação coeficientes  $a_n$  e  $b_n$  ~ ortogonalidade funções  $\sin(x)$  e  $\cos(x)$

$$\text{temos que: } \int_{x_0}^{x_0+L} dx \sin\left(\frac{2\pi n x}{L}\right) \sin\left(\frac{2\pi m x}{L}\right) = \frac{1}{2} L \delta_{n,m}, \quad n, m \neq 0$$

$$\int_{x_0}^{x_0+L} dx \sin\left(\frac{2\pi n x}{L}\right) \cos\left(\frac{2\pi m x}{L}\right) = 0$$

$$L > \int_{x_0}^{x_0+L} dx \cos\left(\frac{2\pi m x}{L}\right) \neq \text{Eq. (73.5)} :$$

$$\int_{x_0}^{x_0+L} dx f(x) \cos\left(\frac{2\pi m x}{L}\right) = \frac{1}{2} a_0 \underbrace{\int_x^{x_0+L} dx \cos\left(\frac{2\pi m x}{L}\right)}_0 +$$

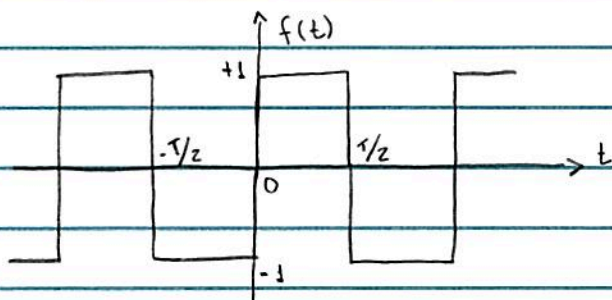
$$+ \sum_{n \geq 1} a_n \underbrace{\int_{x_0}^{x_0+L} dx \cos\left(\frac{2\pi n x}{L}\right) \cos\left(\frac{2\pi m x}{L}\right)}_{\frac{1}{2} L \delta_{n,m}} + b_n \underbrace{\int_{x_0}^{x_0+L} dx \sin\left(\frac{2\pi n x}{L}\right) \cos\left(\frac{2\pi m x}{L}\right)}_0$$

$L > \text{Eq. (73.6)} !$

Obs. 1 : Eq. (73.4) = condições de Dirichlet

Obs. 2 : Uma função não-periódica pode ser escrita como (73.5) em um intervalo  $a < x < b$ .

Ex. : Determinar a série de Fourier da "onda-quadrada":



Como  $f(t)$  é ímpar  $\rightarrow a_n = 0$  e  $b_n \neq 0$



Eq. (73.6) :

$$b_n = \frac{2}{T} \int_{-T/2}^{+T/2} dt f(t) \sin\left(\frac{2\pi n t}{T}\right) = \frac{4}{T} \int_0^{T/2} dt \sin\left(\frac{2\pi n t}{T}\right)$$

$$= \frac{2}{\pi n} (1 - (-1)^n)$$

$$\hookrightarrow f(t) = \frac{4}{\pi} \left( \sin \frac{2\pi t}{T} + \frac{1}{3} \sin\left(3 \cdot \frac{2\pi t}{T}\right) + \frac{1}{5} \sin\left(5 \cdot \frac{2\pi t}{T}\right) + \dots \right)$$

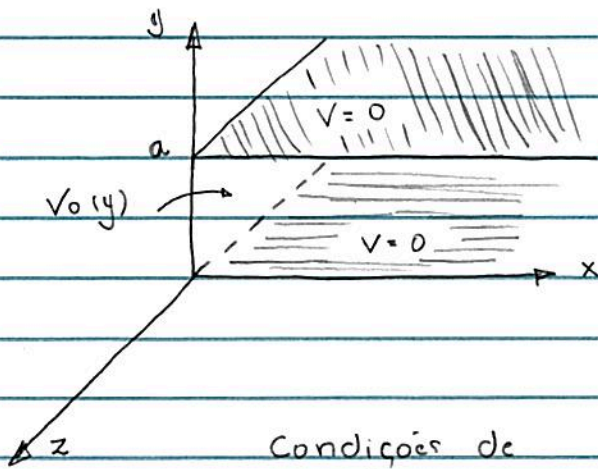
$$= \frac{4}{\pi} \left( \sin \omega t + \frac{1}{3} \sin(3\omega t) + \frac{1}{5} \sin(5\omega t) + \dots \right)$$

onde  $\omega = \frac{2\pi}{T}$  : frequência angular

Ex.: Exemplo 3.3, G.:

sistema: placa metálica  $\infty$  @  $y=0$ , potencial  $V=0$   
 $\oplus$  " " " "  $y=a$ , "  $V=0$   
 $\oplus$  " " " "  $x=0$ , "  $V_0(y)$ ;

determinar potencial  $V(\vec{r}) = V(x,y,z)$ ;  $x \geq 0$   
 $0 \leq y \leq a$   
 $z \leq 0$  } regiões interiores placas metálicas!



Condições de contorno (c.c.):

$$\left\{ \begin{array}{l} V(x, 0, z) = 0 \\ V(x, a, z) = 0 \\ V(0, y, z) = V_0(y) \\ V(x \rightarrow +\infty, y, z) = 0 : \text{hipótese} \end{array} \right.$$

notas: c.c.  $\nabla z \rightarrow Z_r(z) = \text{cte}$  ou  $r=0$ : sistema 2-D!

$\hookrightarrow \alpha^2 = -\beta^2 \equiv \kappa^2$ : escolha apropriada p/ c.c. acima!

Eq. (73.3),  $\kappa \neq 0$  e fixo:

$$V(x,y) = X(x) Y(y) = (Ae^{\kappa x} + Be^{-\kappa x})(C \sin \kappa y + D \cos \kappa y)$$

ctes A, B, C, D e  $\kappa \sim$  condições de contorno

notas:

-  $V(x \rightarrow +\infty, y) = 0 \rightarrow A = 0 \rightarrow V(x,y) = e^{-\kappa x} (C \sin \kappa y + D \cos \kappa y)$



Obs. 1:  $X_{k=0}(x)$  não satisfaz c.c.

Obs. 2: escolha  $\alpha = k > 0$ , O.K. c/ c.c.

-  $V(x,0) = D e^{-kx} = 0 \rightarrow D = 0$

$\hookrightarrow V(x,y) = C e^{-kx} \sin ky$

-  $V(x,a) = C e^{-kx} \sin ka = 0 \rightarrow ka = n\pi, n=1,2,\dots$

$\hookrightarrow$  solução

geral:  $V(x,y) = \sum_{n \geq 1} C_n e^{-n\pi x/a} \sin(n\pi y/a)$  (75.1)

sobre coeficientes  $C_n$ ,

-  $V(0,y) = V_0(y) = \sum_{n \geq 1} C_n \sin(n\pi y/a)$  : série de Fourier  $V_0(y)$  (75.2)

como  $\psi_n(y) = \sin(n\pi y/a)$  : funções  $1/a$ ,  $0 \leq y \leq a$ ,

$\int_0^a dy \sin(m\pi y/a) * (75.2)$  :

$\sum_{n \geq 1} C_n \int_0^a dy \sin(n\pi y/a) \sin(m\pi y/a) = \int_0^a dy V_0(y) \sin(m\pi y/a)$   
 $\underbrace{\int_0^a dy \sin(n\pi y/a) \sin(m\pi y/a)}_{a/2 \delta_{n,m}}$  (75.2.1)

$\hookrightarrow C_n = \frac{2}{a} \int_0^a dy V_0(y) \sin(n\pi y/a)$  (75.3)

Obs.: compare Eq. (75.3) c/ (72.2) - (72.3)

↳ solução geral : Eq. (75.1) ⊕ (75.3),

Caso particular,  $V_0 = \text{cte}$

$$L \rightarrow C_n = \frac{2V_0}{a} \int_0^a dy \sin(n\pi y/a) = \frac{2V_0}{n\pi} (1 - \cos n\pi) = \begin{cases} 0, & n \text{ par} \\ \frac{4V_0}{n\pi}, & n \text{ ímpar} \end{cases}$$

$$\text{Eq. (75.1)} : V(x,y) = \frac{4V_0}{\pi} \sum_{n=1,3,5,\dots} \frac{1}{n} e^{-n\pi x/a} \sin(n\pi y/a)$$

Veja Figs 3.18 e 3.19 G.

Estudar exemplos 3.4 e 3.5 G.



Ex.: Exemplo 3.5. G.,

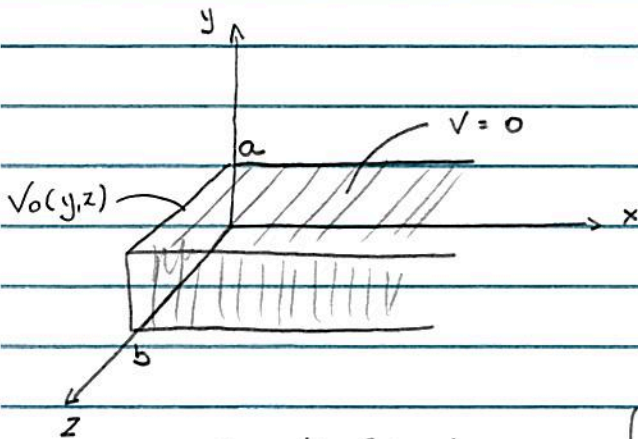
sistema = tubo metálico, semi-infinito, seção transversal retangular;

laterais: potencial  $v = 0$ ,

base // plano  $yz$ : potencial  $v = v_0(y, z)$ ;

determinar potencial

$$V(\vec{r}) = V(x, y, z) ; \left. \begin{array}{l} x \geq 0 \\ 0 \leq y \leq a \\ 0 \leq z \leq b \end{array} \right\} \begin{array}{l} \text{região interior} \\ \text{tubo} \end{array}$$



condições de contorno (c.c.):

$$\left\{ \begin{array}{l} V(x, y, 0) = V(x, y, b) = 0 \\ V(x, 0, z) = V(x, a, z) = 0 \\ V(0, y, z) = v_0(y, z) \\ V(x \rightarrow +\infty, y, z) = 0 : \text{hipótese} \end{array} \right.$$

solução geral:  $V(x, y, z) = X(x) Y(y) Z(z)$

onde  $X_\alpha(x) = A_\alpha e^{\alpha x} + B_\alpha e^{-\alpha x}$ ,  $\alpha \neq 0$

$Y_\beta(y)$

$Z_r(z) \quad \oplus \quad \alpha^2 + \beta^2 + r^2 = 0$

simetria sistema  $\rightarrow \alpha \in \mathbb{R}$  e  $\beta, r \in \mathbb{C}$

ou  $\alpha^2 > 0$  e  $\beta^2, r^2 < 0$

$$\hookrightarrow V(x, y, z) = (Ae^{\alpha x} + B\bar{e}^{-\alpha x})(C \sin \beta y + D \cos \beta y) + \\ + (E \sin \gamma z + F \cos \gamma z)$$

considerando as c.c.:

$$- V(x \rightarrow +\infty, y, z) = 0 \rightarrow A = 0$$

$$\hookrightarrow V(x, y, z) = e^{-\alpha x} (C \sin \beta y + D \cos \beta y) (E \sin \gamma z + F \cos \gamma z)$$

$$- V(x, y, 0) = 0 = e^{-\alpha x} (C \sin \beta y + D \cos \beta y) F \rightarrow F = 0$$

$$\hookrightarrow V(x, y, z) = e^{-\alpha x} (C \sin \beta y + D \cos \beta y) \sin \gamma z$$

$$- V(x, 0, z) = 0 \rightarrow e^{-\alpha x} \cdot D \cdot \sin \gamma z = 0 \rightarrow D = 0$$

$$\hookrightarrow V(x, y, z) = C e^{-\alpha x} \sin \beta y \sin \gamma z$$

$$- V(x, a, z) = 0 = C e^{-\alpha x} \sin \beta a \sin \gamma z \rightarrow \beta a = n\pi ; n = 1, 2, \dots$$

$$- V(x, y, b) = 0 = C e^{-\alpha x} \sin \beta y \sin \gamma b \rightarrow \gamma b = m\pi ; m = 1, 2, \dots$$

$\hookrightarrow$  solução

$$\text{geral: } V(x, y, z) = \sum_{n, m=1}^{\infty} C_{n, m} e^{-\alpha x} \sin(n\pi y/a) \sin(m\pi z/b)$$

$$\textcircled{+} \alpha = \pi \left( (n/a)^2 + (m/b)^2 \right)^{1/2}$$



Soberne os coeficientes  $C_{n,m}$ .

$$V(0, y, z) = V_0(y, z) = \sum_{n,m} C_{n,m} \sin(n\pi y/a) \sin(m\pi z/b) \quad (75.4)$$

$$\int_0^a dy \int_0^b dz \sin(n'\pi y/a) \sin(m'\pi z/b) * (75.4) :$$

$$\sum_{n,m} C_{n,m} \underbrace{\int_0^a dy \sin(n\pi y/a) \sin(n'\pi y/a)}_{a/2 \delta_{n,n'}} \underbrace{\int_0^b dz \sin(m\pi z/b) \sin(m'\pi z/b)}_{b/2 \delta_{m,m'}} =$$

$$= \int_0^a dy \int_0^b dz V_0(y, z) \sin(n'\pi y/a) \sin(m'\pi z/b)$$

$$\hookrightarrow C_{nm} = \frac{4}{ab} \int_0^a dy \int_0^b dz V_0(y, z) \sin(n\pi y/a) \sin(m\pi z/b)$$

↳ solução geral: Eq. (75.1)  $\oplus$  (75.3).

Caso particular,  $V_0 = \text{cte}$

$$\text{↳ } C_n = \frac{2V_0}{a} \int_0^a dy \sin(n\pi y/a) = \frac{2V_0}{n\pi} (1 - \cos n\pi) = \begin{cases} 0, & n \text{ par} \\ 4V_0/n\pi, & n \text{ ímpar} \end{cases}$$

$$\text{Eq. (75.1): } V(x,y) = \frac{4V_0}{\pi} \sum_{n=1,3,5,\dots} \frac{1}{n} e^{-n\pi x/a} \sin(n\pi y/a)$$

Veja Figs. 3.18 e 3.19, G.

Estudar exemplos 3.4 e 3.5, G.

(2) Solução Eq. de Laplace, simetria esférica

Laplaciano em coordenadas esféricas, pg. 224,

$$\nabla^2 V = \frac{1}{r^2} \frac{\partial}{\partial r} \left( r^2 \frac{\partial V}{\partial r} \right) + \frac{1}{r^2 \sin \theta} \frac{\partial}{\partial \theta} \left( \sin \theta \frac{\partial V}{\partial \theta} \right) + \frac{1}{r^2 \sin^2 \theta} \frac{\partial^2 V}{\partial \varphi^2} = 0 \quad (76.1)$$

em particular, vamos considerar sistemas c/ simetria azimutal,

$$\text{i.e. } V(\vec{r}) = V(r, \theta) \rightarrow \frac{\partial^2 V}{\partial \varphi^2} = 0$$

$$\text{↳ } \frac{\partial}{\partial r} \left( r^2 \frac{\partial V}{\partial r} \right) + \frac{1}{\sin \theta} \frac{\partial}{\partial \theta} \left( \sin \theta \frac{\partial V}{\partial \theta} \right) = 0 \quad (76.2)$$

se  $V(r, \theta) = R(r) \Theta(\theta)$  em (76.2):



$$\oplus \frac{d}{dn} \left( n^2 \frac{dR}{dn} \right) + \frac{R}{\sin \theta} \frac{d}{d\theta} \left( \sin \theta \frac{d\oplus}{d\theta} \right) = 0 + \frac{1}{\checkmark}$$

$$\hookrightarrow \frac{1}{R} \frac{d}{dn} \left( n^2 \frac{dR}{dn} \right) + \frac{1}{\oplus \sin \theta} \frac{d}{d\theta} \left( \sin \theta \frac{d\oplus}{d\theta} \right) = 0$$

Como cada termo depende apenas de uma variável e

$\hookrightarrow$  cada termo = cte

$$\frac{d}{dn} \left( n^2 \frac{dR}{dn} \right) = \lambda R \quad \text{e} \quad \frac{d}{d\theta} \left( \sin \theta \frac{d\oplus}{d\theta} \right) = -\lambda \sin \theta \oplus \quad (77.1)$$

$\hookrightarrow$  cte de separação!

- Eq. angular,

$$\text{se } x = \cos \theta \rightarrow \frac{d}{d\theta} = \frac{dx}{d\theta} \frac{d}{dx} = -\sin \theta \frac{d}{dx}$$

$$\hookrightarrow -\sin \theta \frac{d}{dx} \left( (-1) \sin^2 \theta \frac{d\oplus}{dx} \right) = -\lambda \sin \theta \oplus$$

$$\frac{d}{dx} \left( (1-x^2) \frac{d\oplus}{dx} \right) + \lambda \oplus = 0 \quad : \text{ Eq. diferencial de Legendre} \quad (77.2)$$

notas: (77.2) é invariante se  $x \rightarrow -x \rightarrow \oplus(x)$ : paridade definida!

Lembrar: solução via série de potências,

$$\text{se } \oplus(x) = \sum_{j=0}^{\infty} a_j x^j \quad ; \quad -1 \leq x \leq 1 \quad (0 \leq \theta \leq \pi)$$

em (77.2) : 
$$a_{j+2} = \frac{j(j+1) - \lambda}{(j+1)(j+2)} a_j \quad (78.1)$$

se  $\Theta(x)$  par :  $a_1 = 0$  e  $a_j \propto a_0$

" " ímpar :  $a_0 = 0$  e  $a_j \propto a_1$

pr  $j \gg 1$  : 
$$\frac{a_{j+2}}{a_j} \rightarrow \frac{1/j+2}{1/j} \rightarrow \Theta(x) \rightarrow \sum_j \frac{1}{j} x^j$$

notar :  $\Theta(\pm 1)$  : diverge logaritmicamente ( $\theta = 0, \pi$ ) (\*)

$\hookrightarrow$  série pr  $\Theta(x)$  deve apresentar número finito de termos  $l = 0, 1, 2, \dots$

(78.1) : se  $j_{\text{MAX}} = l \rightarrow \lambda = l(l+1)$  ;  $l = 0, 1, 2, \dots$

$\hookrightarrow \Theta(x) = P_l(x) = P_l(\cos \theta)$  : polinômio de Legendre (78.2)

Obs. : segunda solução linearmente independente de (77.2) excluída pois também apresenta comportamento (\*)!

em resumo : soluções fisicamente OK (77.2) : Eq. (78.2) !

• sobre os polinômios de Legendre,

$P_l(x)$  pode ser escrito como

$$P_l(x) = \frac{1}{2^l l!} \left( \frac{d}{dx} \right)^l (x^2 - 1)^l : \text{Fórmula de Rodrigues} \quad (78.3)$$



Exemplos:  $P_0(x) = 1$        $P_1(x) = x$   
 $P_2(x) = (3x^2 - 1)/2$        $P_3(x) = (5x^3 - 3x)/2$   
 $P_4(x) = (35x^4 - 30x^2 + 3)/8$

Propriedades:

(1)  $P_l(\pm 1) = (\pm 1)^l$

(2)  $P_l(-x) = (-1)^l P_l(x)$  : paridade definida

(3)  $\int_{-1}^1 dx P_l(x) P_{l'}(x) = \frac{2}{2l+1} \delta_{l,l'}$  : relação  $\delta$

(veja Eq. (72.3))

ou

$$\int_0^\pi P_l(\cos\theta) P_{l'}(\cos\theta) \sin\theta d\theta = \frac{2}{2l+1} \delta_{l,l'} \quad (79.1)$$

(4)  $P_l(x)$  : conjunto completo de funções,

se  $f = f(x)$  é contínua por partes em  $[-1; 1]$

$$\hookrightarrow f(x) = \sum_{l=0}^{\infty} a_l P_l(x)$$

$$\text{onde } a_l = \frac{2l+1}{2} \int_{-1}^1 dx f(x) P_l(x) \quad (79.2)$$

(5) verifica-se que

$$\frac{1}{\sqrt{1-2xt+t^2}} = \sum_{l=0}^{\infty} t^l P_l(x) ; \quad |x| < 1 \quad (79.3)$$

$$0 < t < 1$$

Função geradora  $P_l(x)$

(6) relações de recorrência,

verifica-se que

$$- (l+1) P_{l+1} = (2l+1)x P_l - l P_{l-1}$$

$$- P'_{l+1} + P'_{l-1} = P_l + 2x P'_l$$

$$- P'_{l-1} = -l P_l + x P'_l$$

$$- (2l+1) P_l = P'_{l+1} - P'_{l-1}$$



- Eq. radial,

a eq. radial pode ser escrita como

$$r^2 R'' + 2rR' - \lambda R = 0 \quad (80.1)$$

se  $R(r) = Ar^\alpha$  em (80.1):

$$Ar^\alpha (\alpha(\alpha-1) + 2\alpha - \lambda) = 0 \rightarrow \alpha(\alpha+1) = \lambda = l(l+1)$$

$$\hookrightarrow \alpha = l, -(l+1)$$

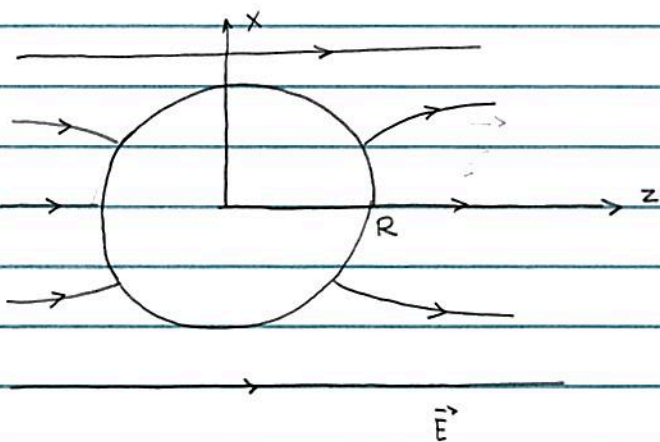
$$\hookrightarrow R(r) = Ar^l + \frac{B}{r^{l+1}}$$

solução genl (76.2):

$$V(r, \theta) = \sum_{l=0}^{\infty} \left( A_l r^l + \frac{B_l}{r^{l+1}} \right) P_l(\cos \theta) \quad (80.2)$$

Ex.: Exemplo 3.8. G.: consideramos esfera condutora neutra, raio  $R$ , centro = origem, sob campo elétrico uniforme  $\vec{E} = E_0 \hat{z}$ .

Determinar potencial  $V(\vec{r})$  p/  $r > R$ ?



como esfera = equipotencial  $\rightarrow$  hipótese  $V_{ESF} = 0$

$$p/ |z| \gg R \rightarrow V(x, y, z) = -E_0 z + C$$

$$\begin{array}{l} \hookrightarrow \text{condições} \\ \text{de contorno:} \end{array} \left\{ \begin{array}{l} V(R, \theta) = 0 \\ V(n \gg R, \theta) = -E_0 z + C \end{array} \right.$$

como o sistema apresenta simetria azimutal

$\hookrightarrow$  solução = Eq. (80.2)!

notas:

$$- V(R, \theta) = \sum_l \left( A_l R^l + \frac{B_l}{R^{l+1}} \right) P_l(\cos \theta) = 0 \rightarrow B_l = -A_l R^{2l+1}$$

$$\hookrightarrow V(n, \theta) = \sum_l A_l \left( n^l - \frac{R^{2l+1}}{n^{l+1}} \right) P_l(\cos \theta)$$

$$- V(n \gg R, \theta) = \sum_l A_l n^l P_l(\cos \theta) = -E_0 z + C$$

$$= -E_0 n \cos \theta + C$$

$$= -E_0 n P_1(\cos \theta) + C P_0(\cos \theta)$$

$$\hookrightarrow A_0 = C$$

$$A_1 = -E_0; \quad A_l = 0, \quad l \geq 2$$

$$\hookrightarrow V(n, \theta) = C \left( 1 - \frac{R}{n} \right) - E_0 \left( n - \frac{R^3}{n^2} \right) \cos \theta$$

Como

$$\vec{E} = -\vec{\nabla} V = -\hat{n} \frac{\partial V}{\partial n} - \hat{\theta} \frac{1}{n} \frac{\partial V}{\partial \theta}$$



$$\begin{aligned} \hookrightarrow \vec{E}(r, \theta) = \hat{n} \left( E_0 \left( 1 + \frac{2R^3}{r^3} \right) \cos \theta - \frac{R}{r^2} C \right) + \\ - \hat{\theta} E_0 \left( 1 - \frac{R^3}{r^3} \right) \sin \theta \end{aligned}$$

condições de contorno  $\vec{E}$  na superfície esférica, Eq. (40.2):

$$E_n(R, \theta) - 0 = 3E_0 \cos \theta - \frac{C}{R} = \frac{\sigma(\theta)}{\epsilon_0} \quad : \text{densidade superficial de carga induzida}$$

$$\hookrightarrow Q = \int_{\text{ESF}} ds \sigma(\theta) = \int (3E_0 \cos \theta - \frac{C}{R}) R^2 \sin \theta d\theta d\varphi$$

$$Q = 0 \quad \text{somente se } C = 0!$$

$$\hookrightarrow V(r, \theta) = -E_0 \left( r - \frac{R^3}{r^2} \right) \cos \theta$$

Obs.: caso geral, simetria esférica,

se  $V(\vec{r}) = V(r, \theta, \varphi)$ , verifica-se que (veja Cap. 3, Jackson)

$$\begin{aligned} \text{Eq. (80.2)} \\ \hookrightarrow V(r, \theta, \varphi) = \sum_{l=0}^{\infty} \sum_{m=-l}^l \left( A_{lm} r^l + \frac{B_{lm}}{r^{l+1}} \right) Y_l^m(\theta, \varphi) \quad (82.1) \end{aligned}$$

onde

$$Y_l^m(\theta, \varphi) = \sqrt{\frac{2l+1}{4\pi} \frac{(l-m)!}{(l+m)!}} (-1)^m e^{im\varphi} P_l^m(\cos \theta) : \text{Harmônico esférico!}$$

(3) Solução Eq. de Laplace, simetria cilíndrica

Laplaciano em coordenadas cilíndricas, pg. 25M

$$\nabla^2 V = \frac{1}{\rho} \frac{\partial}{\partial \rho} \left( \rho \frac{\partial V}{\partial \rho} \right) + \frac{1}{\rho^2} \frac{\partial^2 V}{\partial \varphi^2} + \frac{\partial^2 V}{\partial z^2} = 0 \quad (82.2)$$

se  $V(\vec{r}) = V(\rho, \varphi, z) = R(\rho) G(\varphi) Z(z)$  em (82.2) :

$$G Z \frac{1}{\rho} \frac{d}{d\rho} \left( \rho \frac{dR}{d\rho} \right) + R Z \frac{1}{\rho^2} \frac{d^2 G}{d\varphi^2} + R G \frac{d^2 Z}{dz^2} = 0 \quad * \frac{1}{V}$$

$$\hookrightarrow \frac{1}{R} \frac{1}{\rho} \frac{d}{d\rho} \left( \rho \frac{dR}{d\rho} \right) + \frac{1}{\rho^2} \frac{1}{G} \frac{d^2 G}{d\varphi^2} = - \frac{1}{Z} \frac{d^2 Z}{dz^2} = -\kappa^2 : \text{cte de separação}$$

$$\hookrightarrow \frac{d^2 Z}{dz^2} - \kappa^2 Z = 0 \quad (82.3)$$

$$\hookrightarrow \frac{1}{R} \rho \frac{d}{d\rho} \left( \rho \frac{dR}{d\rho} \right) + \kappa^2 \rho^2 = - \frac{1}{G} \frac{d^2 G}{d\varphi^2} = \nu^2 : \text{cte de separação}$$

$$\hookrightarrow \frac{d^2 G}{d\varphi^2} + \nu^2 G = 0 \quad (82.4)$$

$$\hookrightarrow \rho \frac{d}{d\rho} \left( \rho \frac{dR}{d\rho} \right) + (\rho^2 \kappa^2 - \nu^2) R = 0 \quad (82.5)$$

se  $\nu^2 \geq 0$  e  $\kappa^2 \geq 0$ , temos que



$$G_\nu(\varphi) = \begin{cases} C_0 + D_0 \varphi, & \nu = 0 \\ C_\nu e^{i\nu\varphi} + D_\nu e^{-i\nu\varphi}, & \nu \neq 0 \end{cases} \quad (82.5)$$

$$Z_\kappa(z) = \begin{cases} E_0 + F_0 z, & \kappa = 0 \\ E_\kappa e^{\kappa z} + F_\kappa e^{-\kappa z}, & \kappa \neq 0 \end{cases}$$

como:  $V(\rho, 0, z) = V(\rho, 2\pi, z)$ , i.e.,  $V(\vec{r})$  single-valued

$$\hookrightarrow G_\nu(0) = G_\nu(2\pi) \rightarrow \nu \in \mathbb{Z}.$$

sobre a eq radial (82.5),

$$\text{Se } x = \kappa\rho \rightarrow \frac{d}{d\rho} = \frac{dx}{d\rho} \frac{d}{dx} = \kappa \frac{d}{dx} \quad \text{em (82.5):}$$

$$\frac{d^2 R}{dx^2} + \frac{1}{x} \frac{dR}{dx} + \left(1 - \frac{\nu^2}{x^2}\right) R = 0 : \text{Eq. de Bessel} \quad (82.6)$$

solução via série de potências,

$$\text{se } R(x) = x^\alpha \sum_{j=0}^{\infty} a_j x^j \quad \text{em (82.6)}$$

$$\hookrightarrow \alpha = \pm \nu \quad \text{e} \quad a_{2j} = -\frac{1}{4j(j+\nu)} a_{2j-2} ; \quad j=1, 2, \dots$$

$$\hookrightarrow a_j = 0, \quad j \text{ ímpar}$$

$$\text{e } a_{2j} = \frac{(-1)^j \Gamma(\alpha+1)}{2^{2j} j! \Gamma(j+\alpha+1)} a_0$$

$$\text{escolhendo } a_0 = \frac{1}{2^\alpha \Gamma(\alpha+1)}$$

$$\hookrightarrow R(x) = J_{\pm\nu}(x) = \left(\frac{x}{2}\right)^{\pm\nu} \sum_{j=0}^{\infty} \frac{(-1)^j}{j! \Gamma(j \pm \nu + 1)} \left(\frac{x}{2}\right)^{2j} \quad (82.7)$$

Eq. (82.7) : Função de Bessel de 1º tipo, ordem  $\pm\nu$ .

- se  $\nu \notin \mathbb{Z}$   $\rightarrow J_{\nu}(x)$  e  $J_{-\nu}(x)$  : linearmente independentes

- se  $\nu \in \mathbb{Z}$   $\rightarrow$  " " " " dependentes,

$$\text{i.e., } J_{-m}(x) = (-1)^m J_m(x)$$

nesse caso, soluções (82.6) :

$$J_{\nu}(x) \text{ e } N_{\nu}(x) = \frac{J_{\nu}(x) \cos \nu\pi - J_{-\nu}(x)}{\sin \nu\pi} : \text{ Função de Neumann} \quad (82.8)$$

lembrar, comportamento assintótico :

$$J_{\nu}(x) \sim x^{\nu}$$

$$N_{\nu}(x) \sim x^{-\nu}, \quad \nu \neq 0, \quad x \ll 1$$

$$J_{\nu}(x) \rightarrow \sqrt{\frac{2}{\pi x}} \cos\left(x - \frac{\nu\pi}{2} - \frac{\pi}{4}\right)$$

$$N_{\nu}(x) \rightarrow \sqrt{\frac{2}{\pi x}} \sin\left(x - \frac{\nu\pi}{2} - \frac{\pi}{4}\right), \quad x \gg 1$$

Relação de  $H$  :

$$\int_0^a dp \, p J_{\nu}\left(x_{\nu n} \frac{p}{a}\right) J_{\nu}\left(x_{\nu n'} \frac{p}{a}\right) = \frac{1}{2} a^2 \left(J_{\nu+1}(x_{\nu n})\right)^2 \delta_{n,n'}$$

(82.9)

onde  $J_{\nu}(x_{\nu n}) = 0$

$\hookrightarrow$  n-ésimo zero de  $J_{\nu}(x)$  !



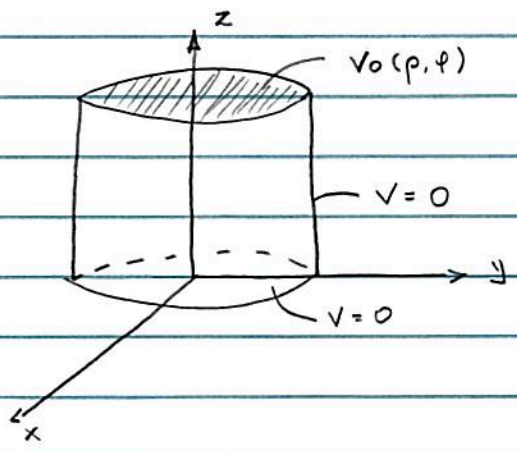
em resumo, soluçãõ eq. nodial (82.5) :

$$R_{\nu\kappa}(\rho) = \begin{cases} A_0 + B_0 \ln \rho, & \kappa = 0, \nu = 0 \\ A_\nu \rho^\nu + B_\nu \rho^{-\nu}, & \kappa = 0, \nu \neq 0 \\ A_{\nu\kappa} J_\nu(\kappa\rho) + B_{\nu\kappa} N_\nu(\kappa\rho), & \kappa^2 > 0 \\ A_{\nu\kappa} I_\nu(\bar{\kappa}\rho) + B_{\nu\kappa} K_\nu(\bar{\kappa}\rho), & \kappa^2 = -\bar{\kappa}^2 < 0 \end{cases} \quad (82.10)$$

onde

$$\begin{aligned} I_\nu(\bar{\kappa}\rho) &= i^{-\nu} J_\nu(i\kappa\rho) && \text{: Funções de} \\ \kappa_\nu(\bar{\kappa}\rho) &= \frac{\pi}{2} i^{\nu+1/2} (J_\nu(i\kappa\rho) + i N_\nu(i\kappa\rho)) && \text{Bessel modificadas} \end{aligned}$$

Ex.: Considerar cilindro metálico, raio a, altura L ;  
determinar V(r) p/ r < a.



condições de contorno :

$$\begin{cases} V(r, \phi, 0) = 0 \\ V(a, \phi, z) = 0 \\ V(r, \phi, L) = V_0(r, \phi) \end{cases}$$

Eqs. (82.5) e (82.10) ⊕ hipótese κ² > 0

$$\begin{aligned} V(\vec{r}) = V(r, \phi, z) &= R(r) G(\phi) Z(z) \\ &= (A J_\nu(\kappa r) + B N_\nu(\kappa r)) (C e^{i\nu\phi} + D e^{-i\nu\phi}) (E e^{\kappa z} + F e^{-\kappa z}) \end{aligned}$$

Lembrar: V(r, 0, z) = V(r, 2π, z) → ν = m = 0, 1, 2, ...

notas:

$$- V(\rho, \varphi, 0) = 0 \rightarrow E = -F$$

$$- V(\rho=0, \varphi, z) < +\infty \rightarrow B = 0$$

$$\hookrightarrow V(\rho, \varphi, z) = J_m(\kappa \rho) (A \sin(m\varphi) + B \cos(m\varphi)) \sinh(\kappa z)$$

$$- V(a, \varphi, z) = 0 \rightarrow J_m(\kappa a) = 0$$

$\hookrightarrow \kappa_{mn} a = \chi_{mn} : n$ -ésimo zero de  $J_m(x)$ ;

$n = 1, 2, 3, \dots$

$\hookrightarrow$  solução geral:

$$V(\rho, \varphi, z) = \sum_{m=0}^{\infty} \sum_{n=1}^{\infty} J_m(\kappa_{mn} \rho) \sinh(\kappa_{mn} z) *$$

$$* (A_{mn} \sin m\varphi + B_{mn} \cos m\varphi)$$

$$- V(\rho, \varphi, L) = V_0(\rho, \varphi) =$$

$$= \sum_{m,n} J_m(\kappa_{mn} \rho) \sinh(\kappa_{mn} L) (A_{mn} \sin m\varphi + B_{mn} \cos m\varphi)$$

utilizando as relações de H (75.2.1) e (82.9), verifica-se que (exercício)

$$A_{mn} = C \int_0^{2\pi} d\varphi \int_0^a d\rho \rho V_0(\rho, \varphi) J_m(\kappa_{mn} \rho) \sin m\varphi$$

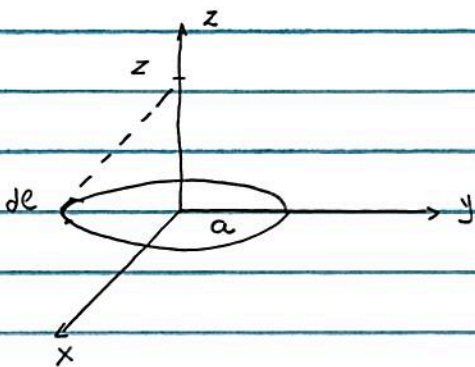
$$B_{mn} = C \int_0^{2\pi} d\varphi \int_0^a d\rho \rho V_0(\rho, \varphi) J_m(\kappa_{mn} \rho) \cos m\varphi$$



onde  $C = 2 \operatorname{cosech}(K_m n L) / \pi a^2 J_{m+1}^2(K_m n a)$

Obs.: P 3.24 e P 3.25, G, casos particulares,  $L \rightarrow +\infty$ !

Ex.: simetria esférica: consideramos anel, raio a,  $\lambda = \text{cte}$ ;  
determinar  $V(\vec{r})$ .



• Lembra caso particular  $V(0, 0, z)$ :

pr comprimento infinitesimal  $de$ ,

$$dV = \frac{1}{4\pi\epsilon_0} \frac{dq}{\sqrt{z^2 + a^2}} \quad ; \quad dq = \lambda de = \lambda a d\varphi$$

$$\hookrightarrow V(0, 0, z) = \frac{\lambda a}{4\pi\epsilon_0} \int_0^{2\pi} \frac{d\varphi}{\sqrt{z^2 + a^2}} = \frac{\lambda 2\pi a}{4\pi\epsilon_0} \frac{1}{\sqrt{z^2 + a^2}} \quad (82.11)$$

• caso geral  $V = V(\vec{r})$ ,

como sistema apresenta simetria azimutal  $\rightarrow V = V(r, \theta)$

$$\hookrightarrow \text{Eq. (80.2)}: V(r, \theta) = \sum_{l=0}^{\infty} \left( A r^l + \frac{B_l}{r^{l+1}} \right) P_l(\cos\theta)$$

como  $V(0, \theta) < +\infty$  : solução regular na origem  
 $V(r \rightarrow +\infty, \theta) \rightarrow 0$

$$\hookrightarrow V(r, \theta) = \begin{cases} \sum_l A_l r^l P_l(\cos \theta), & r < a \\ \sum_l B_l \frac{1}{r^{l+1}} P_l(\cos \theta), & r > a \end{cases}$$

determinação coeffs  $A_l$  e  $B_l$ , 2 possibilidades:

(1) Lembrar condições de contorno  $\vec{E}(\vec{r})$  e  $V(\vec{r})$ , Eqs. (42.1)

- continuidade  $V(\vec{r})$  em  $r=a$ :

$$\sum_l A_l a^l P_l(\cos \theta) = \sum_l B_l \frac{1}{a^{l+1}} P_l(\cos \theta) \rightarrow B_l = A_l a^{2l+1}$$

$$\text{se } A_l = C_l / a^l$$

$$\hookrightarrow V(r, \theta) = \begin{cases} \sum_l C_l \left(\frac{r}{a}\right)^l P_l(\cos \theta), & r < a \\ \sum_l C_l \left(\frac{a}{r}\right)^{2l+1} P_l(\cos \theta), & r > a \end{cases} \quad (82.12)$$

- sobre  $E \perp @ r=a$ :

$$\left. \frac{\partial V}{\partial r} \right|_{r=a^+} - \left. \frac{\partial V}{\partial r} \right|_{r=a^-} = -\frac{1}{\epsilon_0} \sigma(\theta) = \frac{Q}{2\pi a^2} \delta(\cos \theta)$$

↑  
verifican !



exercício  $\rightarrow \sum_{l=0}^{\infty} C_l (2l+1) \frac{1}{a} P_l(\cos\theta) = \frac{\sigma(\theta)}{\epsilon_0} + P_m(\cos\theta) \sin\theta$

$$\hookrightarrow \sum_l \frac{C_l}{a} (2l+1) \int_0^{\pi} d\theta \sin\theta P_l(\cos\theta) P_m(\cos\theta) = \int_0^{\pi} d\theta \sin\theta \frac{\sigma(\theta) P_m(\cos\theta)}{\epsilon_0}$$

$$\frac{2}{2m+1} \delta_{l,m}$$

$$\hookrightarrow C_l = \frac{a}{2\epsilon_0} \int_0^{\pi} d\theta \sin\theta \left( \frac{Q}{2\pi a^2} \delta(\cos\theta) \right) P_l(\cos\theta)$$

$$= \frac{Q}{4\pi\epsilon_0 a} \int_{-1}^{+1} dx P_l(x) \delta(x) = \frac{Q}{4\pi\epsilon_0 a} P_l(0)$$

(2) Como a solução da Eq. de Laplace é única, podemos utilizar o caso particular (82.11) para determinar os coeficientes  $C_l$ .

Lembrar que:  $\frac{1}{\sqrt{1-2xt+t^2}} = \sum_{l=0}^{\infty} t^l P_l(x)$ ,  $|x| < 1$   
 $0 < t < 1$

Função geradora  $P_l(x)$ !

Eq. (82.11):

$$V(0,0,z) = \frac{Q}{4\pi\epsilon_0} \frac{1}{\sqrt{z^2+a^2}} = \frac{Q}{4\pi\epsilon_0 a} \frac{1}{\sqrt{1+z^2/a^2}} =$$

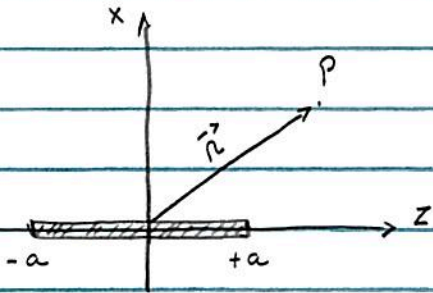
$$= \sum_{l=0}^{\infty} \left(\frac{z}{a}\right)^l P_l(0) \cdot \frac{Q}{4\pi\epsilon_0 a}$$

$$= \sum_l C_l \left(\frac{z}{a}\right)^l \underbrace{P_l(1)}_1, \quad z < a$$

Eq. (82.12)

$$\hookrightarrow C_e = \frac{Q}{4\pi\epsilon_0 a} P_e(0) !$$

Ex.: P. 3-38, G.: Considera uma carga  $Q$  uniformemente distribuída ao longo eixo  $z$  por  $|z| \leq a$ ; determinar  $V(\vec{r})$  em termos de  $P_e(\cos\theta)$ .



Vimos que, pg. 34

$$V(\vec{r}) = V(\rho, z) = \frac{1}{4\pi\epsilon_0} \int_{-a}^{+a} \frac{\lambda dz'}{\sqrt{\rho^2 + (z-z')^2}} = \frac{\lambda}{4\pi\epsilon_0} \ln \frac{\sqrt{(L-z)^2 + \rho^2} + L-z}{\sqrt{(L+z)^2 + \rho^2} - (L+z)}$$

ideia: utilizar a função geradora  $P_e(x)$  e expandir o integrando.

notas:

$$\begin{aligned} (\rho^2 + (z-z')^2)^{-1/2} &= \left( \underbrace{\rho^2 + z^2 + z'^2}_{n^2} - 2zz' \right)^{-1/2} = \frac{1}{n} \left( 1 + \frac{z'^2}{n^2} - \frac{2z' \cos\theta}{n} \right)^{-1/2} \\ &= \frac{1}{n} \sum_{l=0}^{\infty} \left( \frac{z'}{n} \right)^l P_l(\cos\theta), \quad n > a \text{ pois} \\ &\quad x = \cos\theta, \\ &\quad \frac{z'}{n} = t < 1 ! \end{aligned}$$

$$\hookrightarrow V(n, \theta) = \frac{\lambda}{4\pi\epsilon_0 n} \sum_l \frac{P_l(\cos\theta)}{n^l} \int_{-a}^{+a} z'^l dz' = \frac{\lambda}{4\pi\epsilon_0 n} \frac{a^{l+1}}{l+1}, \quad l \text{ par} !$$



$l \rightarrow 2l$ 

$$\hookrightarrow V(r, \theta) = \frac{\lambda a}{4\pi\epsilon_0 r} \sum_{l=0}^{\infty} \frac{1}{2l+1} \left(\frac{a}{r}\right)^{2l} P_{2l}(\cos\theta), \quad r > a$$

## Equação de Poisson

Lembran pg. 63 :  $V(\vec{r})$  pode ser determinado via solução eq. diferencial

$$\nabla^2 V = -\frac{1}{\epsilon_0} \rho(\vec{r}) \quad (83.1)$$

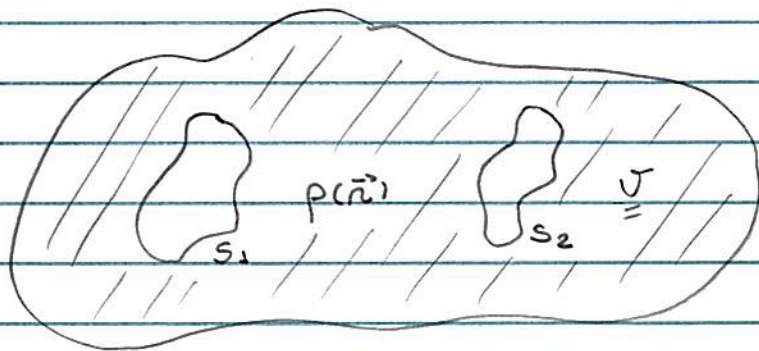
⊕ condições de contorno apropriadas

De modo análogo à Eq. de Laplace, verifica-se que a solução de (83.1) é única !

• Generalização teorema de unicidade I :

Considerar volume  $V$  = volume exterior conjunto de superfícies  $S_i$

↳ A solução  $V(\vec{r})$ ,  $\vec{r} \in V$ , da Eq. de Poisson é única se  $V(\vec{r})$  p/  $\vec{r} \in S_i$  é conhecida.



Demonstração :

hipótese :  $V_I$  e  $V_{II}$  são soluções da Eq. de Poisson, que satisfazem as mesmas condições de contorno,

i.e.,

$$\nabla^2 V_I = -\frac{1}{\epsilon_0} \rho(\vec{r}), \quad \nabla^2 V_{II} = -\frac{1}{\epsilon_0} \rho(\vec{r}) \quad \text{e} \quad V_I(\vec{r}) = V_{II}(\vec{r}), \quad \vec{r} \in S_i$$



$$\text{Se } \Phi \equiv V_I - V_{II}$$

$$\hookrightarrow \nabla^2 \Phi = \nabla^2 V_I - \nabla^2 V_{II} = 0 \quad \text{e} \quad \underbrace{\Phi(\vec{r}) = 0}_{\text{c.c. (*)}} \text{ p/ } \vec{r} \in S_i$$

i.e.,  $\Phi$  satisfaz a Eq. de Laplace  $\oplus$  condições contorno (\*)

$\hookrightarrow$  teorema unicidade Eq. de Laplace!

• Método das imagens,

- procedimento que permite a determinação da solução da Eq. de Poisson p/ certo conjunto sistemas.

- ideia: considerar sistema constituído por uma superfície que separa o volume total em duas partes  $\underline{V}$  e  $\underline{V}'$ , i.e.,  $\underline{V}_{\text{tot}} = \underline{V} + \underline{V}'$

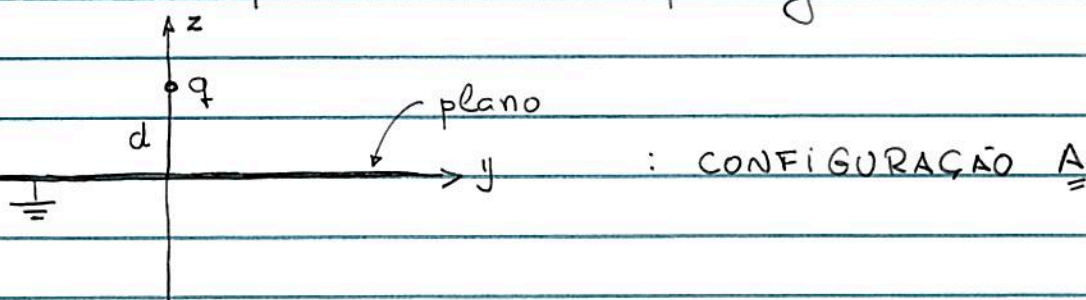
$\hookrightarrow V(\vec{r}), \vec{r} \in \underline{V}$ , é determinado introduzindo-se cargas fictícias (imagens) em  $\underline{V}'$ .

Vamos considerar 2 exemplos a fim de ilustrar o método.

Ex. 1: considerar carga pontual  $q > 0$  em  $\vec{r} = d\hat{z}$

$\oplus$  plano metálico  $\infty$  em  $z=0$ ,  $V=0$  (aterrado)

$\hookrightarrow$  Determinar potencial  $V(\vec{r})$  p/ região  $z > 0$ .



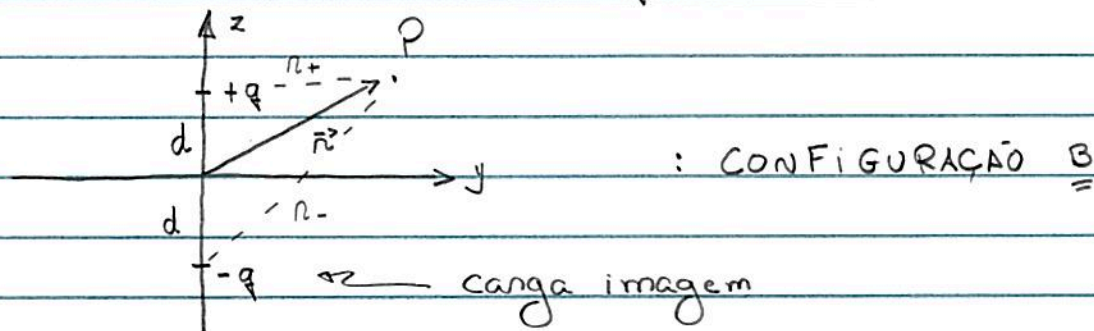
notas :  $V(\vec{r})$  a carga pontual  $\oplus$  carga induzida plano

nesse caso  $\rho(\vec{r}) = q\delta(\vec{r} - d\hat{z}) + \underbrace{\sigma_{ind}(\vec{r})\delta(z)}_{\text{não conhecida inicialmente}}$

condições de contorno :  $\begin{cases} V(x, y, 0) = 0 \\ V(\vec{r}) \rightarrow 0 \text{ p/ } |\vec{r}| \gg d \end{cases}$

Ao invés de resolver diretamente Eq. (83.1), vamos considerar sistema que apresenta as mesmas características da CONF. A.

considerar : carga pontual  $+q$  em  $\vec{r} = d\hat{z}$   
 " "  $-q$  "  $\vec{r} = -d\hat{z}$



nesse caso,

$$V(\vec{r}) = V(x, y, z) = \frac{1}{4\pi\epsilon_0} \left( \frac{q}{\sqrt{x^2 + y^2 + (z-d)^2}} - \frac{q}{\sqrt{x^2 + y^2 + (z+d)^2}} \right) \quad (85.1)$$

Eq. (84.1) :  $V(x, y, 0) = 0$   
 $V(\vec{r}) \rightarrow 0 \text{ p/ } |\vec{r}| \gg d !$

como condições contorno e  $\rho(\vec{r}), z > 0$  CONF. B =  
 = " " " " " CONF. A

$\rightarrow V(\vec{r}) \text{ CONF. A} = (85.1) !$   
 Teorema unicidade

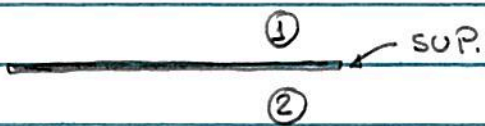


Obs.: ingrediente importante do método: teorema de unicidade.

↳ Q.: Qual a densidade de carga  $\sigma_{ind}(x,y)$  induzida no plano?

Lembrar condições contorno  $\vec{E}$  em uma superfície:

$$\text{Eq. (42.1)}: \hat{n} \cdot (\vec{E}_1 - \vec{E}_2) = \frac{1}{\epsilon_0} \sigma(\hat{n})$$



$$\hookrightarrow \hat{n} \cdot (\vec{\nabla}V_1 - \vec{\nabla}V_2) = -\frac{1}{\epsilon_0} \sigma \quad \text{ou} \quad \frac{\partial V_1}{\partial n} - \frac{\partial V_2}{\partial n} = -\frac{1}{\epsilon_0} \sigma$$

$$\text{onde} \quad \frac{\partial V}{\partial n} \equiv \hat{n} \cdot \vec{\nabla}V$$

Aqui:  $\hat{n} = \hat{z}$  e  $\vec{E}_2 = 0$

$$\hookrightarrow \frac{\partial V}{\partial z} = -\frac{q}{4\pi\epsilon_0} \left( \frac{(z-d)}{(x^2+y^2+(z-d)^2)^{3/2}} - \frac{(z+d)}{(x^2+y^2+(z+d)^2)^{3/2}} \right)$$

$$\hookrightarrow \sigma_{ind}(x,y) = -\epsilon_0 \frac{\partial V}{\partial z} \Big|_{z=0} = \frac{-qd}{2\pi(x^2+y^2+d^2)^{3/2}}$$

$$= \frac{-qd}{2\pi(\rho^2+d^2)^{3/2}} \quad (\text{coord. polares})$$

(veja problema adicional, cap. 2)

$$\hookrightarrow Q = \int \sigma(\rho) ds = \frac{-qd}{2\pi} \int_0^{\infty} \frac{\rho d\rho}{(\rho^2+d^2)^{3/2}} \int_0^{2\pi} d\varphi = -q$$

$$ds = \rho d\rho d\varphi$$

notar posição da carga imagem:  $-q$  em  $\vec{r} = -d\hat{z} \in \underline{\underline{U'}}$ !

- como  $\exists$  carga induzida no plano  $\rightarrow \exists$  interação entre carga pontual  $q$  e o plano

devido à analogia entre as CONFs. A e B

$$\hookrightarrow \vec{F} = -\frac{1}{4\pi\epsilon_0} \frac{q^2}{(2d)^2} \hat{z} : \text{força plano sob carga pontual } q.$$

- além disso, podemos determinar a energia potencial eletrostática armazenada no sistema carga-plano,

Eq. (44.1) p/ CONF. B:

$$U_B = \frac{1}{2} \sum_{i \neq j=1,2} \frac{q_i q_j}{4\pi\epsilon_0 r_{ij}} = -2 \cdot \frac{1}{4\pi\epsilon_0} \frac{q^2}{4d}$$

Como

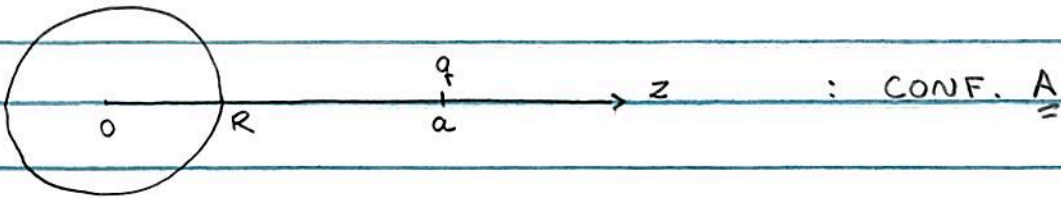
$$U_B = \frac{1}{2} \epsilon_0 \int d^3\vec{r} E^2(\vec{r}) = 2 \cdot \frac{1}{2} \epsilon_0 \int_{z>0} d^3\vec{r} E^2(\vec{r}) = 2 \cdot U_A$$

$\uparrow$   
 p/ simetria  
 $\vec{E}(\vec{r})$

$$\hookrightarrow U_A = \frac{1}{2} U_B = -\frac{1}{4\pi\epsilon_0} \frac{q^2}{4d}$$



Ex. 2: considerar esfera metálica, raio  $R$ , centro = origem  
 $\oplus$  carga pontual  $q$  em  $\vec{r} = a\hat{z}$ ,  $a > R$ .  
 Determinar  $V(\vec{r})$  p/  $|\vec{r}| > R$ .

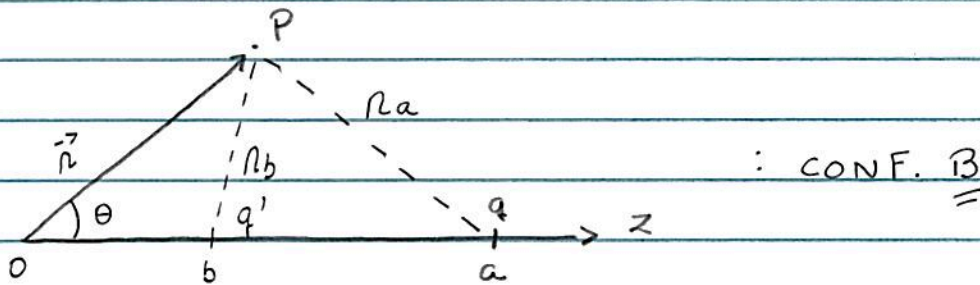


ideia método das imagens: determinar posição carga  $q'$  e interior esfera, ou  
 c/ condições de contorno.

Vamos analisar 2 casos distintos:

(i)  $V(r=R) = 0$

nesse caso, uma única carga imagem  $q'$  é necessária



$$r_a = |\vec{r} - a\hat{z}| = (r^2 + a^2 - 2ar\cos\theta)^{1/2}$$

$$r_b = |\vec{r} - b\hat{z}| = (r^2 + b^2 - 2br\cos\theta)^{1/2}$$

temos que: 
$$V(\vec{r}) = \frac{1}{4\pi\epsilon_0} \left( \frac{q}{r_a} + \frac{q'}{r_b} \right)$$

$$= \frac{1}{4\pi\epsilon_0} \left( \frac{q}{(r^2 + a^2 - 2ar\cos\theta)^{1/2}} + \frac{q'}{(r^2 + b^2 - 2br\cos\theta)^{1/2}} \right)$$

condição de contorno  $V(r=R) = 0$

$$\hookrightarrow \frac{q/(R^2+a^2)^{1/2}}{\left(1 - \frac{2Ra \cos\theta}{R^2+a^2}\right)^{1/2}} = \frac{-q'/(R^2+b^2)^{1/2}}{\left(1 - \frac{2Rb \cos\theta}{R^2+b^2}\right)^{1/2}}, \quad \forall \theta!$$

$$\hookrightarrow \frac{2Ra}{R^2+a^2} = \frac{2Rb}{R^2+b^2} \rightarrow b=a \quad (\text{NO GOOD!})$$

$$b = R^2/a$$

(89.1)

$$\hookrightarrow q' = -q \frac{(R^2+b^2)^{1/2}}{(R^2+a^2)^{1/2}} = -\frac{R}{a} q$$

(ii)  $V(r=R) = V_0$

nesse caso, uma segunda carga imagem  $q''$  em  $\vec{r}=0$  é suficiente;

o valor  $q'' \sim$  condições de contorno do sistema!

$$\hookrightarrow V(\vec{r}) = \frac{1}{4\pi\epsilon_0} \left( \frac{q}{Ra} + \frac{q'}{Rb} + \frac{q''}{r} \right); \quad |\vec{r}| > R.$$

Exercício:

(1) Determinar  $\sigma_{\text{ind}}(\theta, \varphi)$  induzida na superfície da esfera, i.e.,

$$\sigma_{\text{ind}}(\theta, \varphi) = -\epsilon_0 \left. \frac{\partial V}{\partial n} \right|_{r=R}$$

(2) Mostrar que a carga total da esfera é

$$Q = q' + q''$$



Casos particulares:

(i) esfera aterrada:  $V(r=R) = 0 \rightarrow Q = q', q'' = 0$

(ii) esfera neutra:  $q' = -q''$

pt o caso (ii): como  $\exists$  carga induzida na esfera

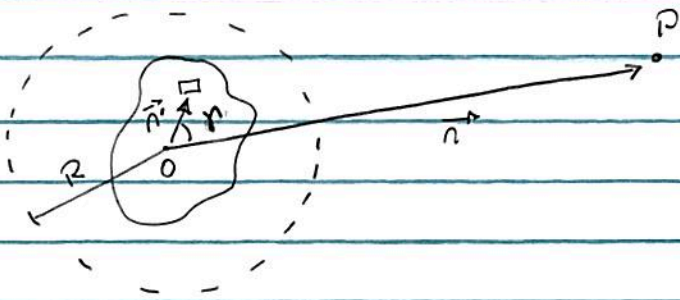
$\hookrightarrow \exists$  interação esfera - carga pontual

devido à analogia entre as CONFs. A e B

$$\hookrightarrow \vec{F} = + \frac{1}{4\pi\epsilon_0} \frac{qq'}{(a-b)^2} \hat{z} = - \frac{1}{4\pi\epsilon_0} \frac{q^2 a R}{(a^2 - R^2)^2} \hat{z} : \text{Força esfera sob carga } q''!$$

• Expansão multipolar,

considerar uma distribuição localizada de cargas, i.e.,  
 $\rho(\vec{r}') = 0$  p/  $r' > R$



vimos que o potencial  $V(\vec{r})$  associado a essa distribuição é dado pela Eq. (30.2):

$$V(\vec{r}) = \frac{1}{4\pi\epsilon_0} \int_V d^3r' \rho(\vec{r}') \frac{1}{|\vec{r} - \vec{r}'|} \quad (91.1)$$

em particular, se  $r \gg R$ , temos que

$$V(\vec{r}) \approx \frac{1}{4\pi\epsilon_0} \frac{Q}{r} \quad ; \quad \text{potencial carga pontual } Q \text{ @ origem!} \quad (91.2)$$

$$\text{onde } Q = \int d^3r' \rho(\vec{r}')$$

notar: (91.2) é uma  $1^{\text{a}}$  aproximação p/ (91.1) qdo  $r \gg R$ .

ideia expansão

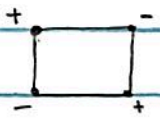
multipolar: determinar expansão sistemática  $V(\vec{r})$  em termos de n-polos elétricos p/  $r \gg R$ .

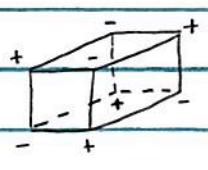


Lembranças:

$\oplus q$  : monopolo  $V(r) \sim 1/r$

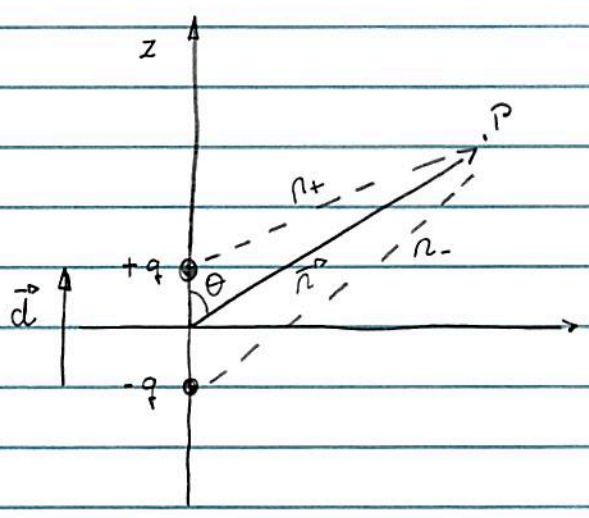
$\ominus \text{---} \oplus$  : dipolo  $V(r) \sim 1/r^2$

 : quadropolo  $V(r) \sim 1/r^3$  (92.1)

 : octopolo  $V(r) \sim 1/r^4$

coefs. expansão: momentos de n-polo elétrico!

inicial: Lembranças  $V(\vec{r})$  dipolo elétrico



$$\vec{p} = q\vec{d}$$

$r_{\pm}$ : distância carga  $\pm q$  - plo  $P$

temos que:

$$V(\vec{r}) = \frac{q}{4\pi\epsilon_0} \left( \frac{1}{r_+} - \frac{1}{r_-} \right) = \frac{q}{4\pi\epsilon_0} \cdot \frac{r_- - r_+}{r_- r_+}$$

hipótese:  $r \gg d$

notas:  $\vec{r}_- = \vec{d} + \vec{r}_+$   $\rightarrow$   $\vec{r}_+ = \vec{r} - \vec{d}/2$

$$\vec{r}_+ = \frac{1}{2}\vec{d} + \vec{r}_+$$

$$\vec{r}_- = \vec{r} + \vec{d}/2$$

$$\hookrightarrow r_{\pm} = \left( r^2 - \vec{r} \cdot \vec{d} + \frac{d^2}{4} \right)^{1/2} = r \left( 1 - \frac{\vec{r} \cdot \vec{d}}{r^2} + \frac{d^2}{4r^2} \right)^{1/2} \approx r - \frac{1}{2} d \cos \theta$$

$$e r_{-} \approx r + \frac{1}{2} d \cos \theta$$

$$\hookrightarrow V(\vec{r}) = \frac{q}{4\pi\epsilon_0} \frac{r_{-} - r_{+}}{r_{-} r_{+}} \approx \frac{q}{4\pi\epsilon_0} \frac{d \cos \theta}{r^2} = \frac{p \cos \theta}{4\pi\epsilon_0 r^2}, \quad r \gg d \quad (92.1)$$

notas:  $V(r) \sim 1/r^2$ !

como  $\vec{E} = -\vec{\nabla} V$

$$\begin{aligned} \hookrightarrow \vec{E}(\vec{r}) &= -\hat{n} \frac{\partial}{\partial n} \left( \frac{p \cos \theta}{4\pi\epsilon_0 r^2} \right) - \frac{\hat{\theta}}{r} \frac{\partial}{\partial \theta} \left( \frac{p \cos \theta}{4\pi\epsilon_0 r^2} \right) \\ &= \frac{p}{4\pi\epsilon_0 r^3} \left( 2 \cos \theta \hat{n} + \sin \theta \hat{\theta} \right), \quad r \gg d \quad (92.2) \end{aligned}$$

como  $\vec{p} = p \hat{z} \longrightarrow \vec{p} \cdot \hat{n} = p \cos \theta$   
 $\vec{p} \cdot \hat{\theta} = -p \sin \theta$  (veja pg. 211)  
 $\vec{p} \cdot \hat{\phi} = 0$

$$\hookrightarrow V(\vec{r}) = \frac{1}{4\pi\epsilon_0} \frac{\vec{p} \cdot \vec{r}}{r^3}; \quad r \gg d \quad (92.3)$$

$$\vec{E}(\vec{r}) = \frac{1}{4\pi\epsilon_0 r^3} \left( 3(\vec{p} \cdot \hat{n}) \hat{n} - \vec{p} \right)$$



sobre a expansão multipolar,

como  $r \gg R$  (veja Fig. pg. 91)  $\rightarrow r \gg r'$

$\hookrightarrow$  expansão de  $\frac{1}{|\vec{r} - \vec{r}'|}$  em termos de  $\frac{r'}{r}$ !

notas:

$$|\vec{r} - \vec{r}'| = \left( r^2 + r'^2 - 2rr' \cos r \right)^{1/2} = r \left( 1 + \underbrace{\left( \frac{r'}{r} \right)^2 - 2 \left( \frac{r'}{r} \right) \cos r}_{\equiv t} \right)^{1/2}$$

$\hookrightarrow$  série de Taylor!

alternativa: utilizar função geradora  $P_n(x)$  (79.3),

$$\begin{aligned} \frac{1}{|\vec{r} - \vec{r}'|} &= \frac{1}{r} \left( 1 - \underbrace{2 \left( \frac{r'}{r} \right) \cos r}_t + \underbrace{\left( \frac{r'}{r} \right)^2}_{\equiv t^2} \right)^{-1/2} \\ &= \frac{1}{r} \sum_{n=0}^{\infty} \left( \frac{r'}{r} \right)^n P_n(\cos r) \end{aligned} \quad (93.1)$$

Eq. (93.1) em (91.1):

$$V(\vec{r}) = \frac{1}{4\pi\epsilon_0} \sum_{n=0}^{\infty} \frac{1}{r^{n+1}} \int d^3r' r'^n P_n(\cos r) \rho(\vec{r}') \quad (93.2)$$

$\hookrightarrow$  ângulo entre  $\vec{r}$  e  $\vec{r}'$ !

Eq. (93.2): expansão multipolar

$V(\vec{r})$

$\sim$  expansão em potências de  $\frac{1}{r}$ !

Vamos analisar os primeiros termos da série (93.2),

•  $n=0$  (monopolo):

$$V_{\text{MON}}(\vec{r}) = \frac{1}{4\pi\epsilon_0} \cdot \frac{1}{r} \underbrace{\int d^3r' \rho(\vec{r}')}_{=Q} \quad : \begin{array}{l} V(r) \text{ carga pontual} \\ Q @ \text{ origem!} \end{array} \quad (94.1)$$

•  $n=1$  (dipolo):

$$V_{\text{DIP}}(\vec{r}) = \frac{1}{4\pi\epsilon_0} \cdot \frac{1}{r^2} \int d^3r' r' P_1(\cos\theta') \rho(\vec{r}')$$

Como

$$r' P_1(\cos\theta') = r' \cos\theta' = \hat{n} \cdot \vec{r}' = \frac{\vec{r} \cdot \vec{r}'}{r}$$

$$\begin{aligned} \hookrightarrow V_{\text{DIP}}(\vec{r}) &= \frac{1}{4\pi\epsilon_0} \cdot \frac{\vec{r}}{r^3} \cdot \left( \int d^3r' \vec{r}' \rho(\vec{r}') \right) \\ &= \vec{p} : \text{momento de} \\ &\quad \text{dipolo elétrico} \end{aligned} \quad (94.2)$$

$$\hookrightarrow V_{\text{DIP}}(\vec{r}) = \frac{1}{4\pi\epsilon_0} \cdot \frac{\vec{r} \cdot \vec{p}}{r^3} \quad : \quad (94.3)$$

•  $n=2$  (quadrupolo):

$$V_{\text{QUAD}}(\vec{r}) = \frac{1}{4\pi\epsilon_0} \cdot \frac{1}{r^3} \int d^3r' r'^2 P_2(\cos\gamma) \rho(\vec{r}')$$



como

$$\begin{aligned} r' P_2(\cos \theta) &= \frac{1}{2} r'^2 (3 \cos^2 \theta - 1) = \frac{1}{2} (3 (\hat{n} \cdot \vec{r}')^2 - r'^2) \\ &= \frac{1}{2} (3 \hat{n}_i r'_i \hat{n}_j r'_j - r'^2) \\ &= \frac{1}{2} \int_{ij} \hat{n}_i \hat{n}_j (3 r'_i r'_j - \delta_{ij} r'^2) \end{aligned}$$

$$\begin{aligned} \hookrightarrow V_{\text{QUAD}}(\vec{r}) &= \frac{1}{4\pi\epsilon_0} \frac{1}{2r^3} \sum_{ij=1}^3 \hat{n}_i \hat{n}_j \int d^3r' (3 r'_i r'_j - \delta_{ij} r'^2) \rho(\vec{r}') \\ &= Q_{ij} \end{aligned} \quad (95.1)$$

$Q_{ij}$ : momento de quadrupolo elétrico: tensor ordem 2!

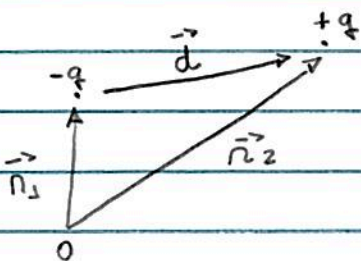
Obs.: acompanha Eqs. (92.1) e (94.1), (94.2), (95.1)

Obs. 1: sobre o momento de dipolo elétrico  $\vec{p}$ ,

$$\text{se } \rho(\vec{r}) = \sum_{\alpha=1}^N q_{\alpha} \delta(\vec{r} - \vec{r}_{\alpha})$$

$$\hookrightarrow \vec{p} = \int d^3r' \vec{r}' \rho(\vec{r}') = \sum_{\alpha} q_{\alpha} \int d^3r' \vec{r}' \delta(\vec{r}' - \vec{r}_{\alpha}) = \sum_{\alpha} q_{\alpha} \vec{r}_{\alpha}$$

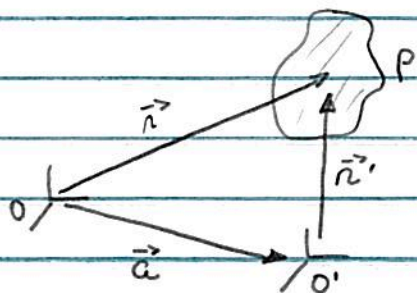
em particular ( $N=2$ ):



$$q_1 = -q_2 = -q$$

$$\hookrightarrow \vec{p} = q (\vec{r}_2 - \vec{r}_1) = q \vec{d}$$

Obs. 2: Considerar 2 referencias  $O$  e  $O'$



p/ REF.  $O$  :  $\vec{p} = \int d^3r \rho(\vec{r}) \vec{r}$

" "  $O'$  :  $\vec{p}' = \int d^3r' \rho(\vec{r}') \vec{r}'$

Como  $\vec{r} = \vec{r}' + \vec{a}$  e  $d^3r = d^3r'$ ,  $\rho(\vec{r}) = \rho(\vec{r}')$

$$\hookrightarrow \vec{p}' = \int d^3r \rho(\vec{r}) (\vec{r} - \vec{a}) = \vec{p} - \vec{a} Q$$

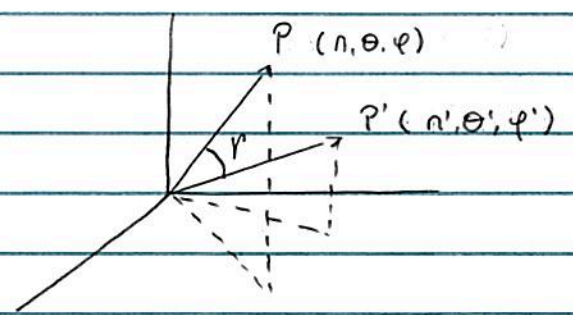
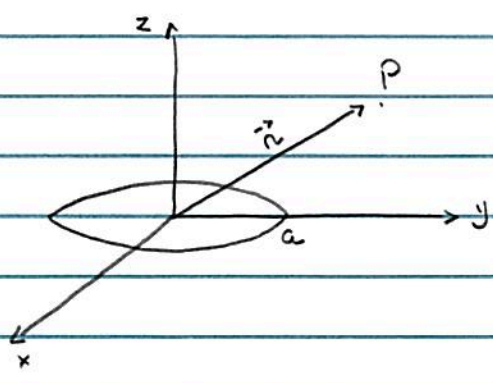
$\hookrightarrow$  se  $Q = 0 \rightarrow$  momento dipolo  $\vec{p}$  independe escolha origem  $O$  (\*)

• p/ distribuição de cargas tal que  $Q = 0 \rightarrow V_{\text{dip}}(\vec{r})$  é o 1º termo na expansão multipolar (93.2)

(\*)  $\rightarrow V_{\text{dip}}(\vec{r})$  é bem definido!



Ex.: P-3.28, G, 4ed.: consideran anel, raio = a,  $\lambda = cte$ ;  
determinar termos  $n = 0, 1, 2$ , expansão  
multipolar de  $V(\vec{r})$



$$\text{Eq. (93.2)} : V(\vec{r}) = \frac{1}{4\pi\epsilon_0} \sum_{n=0}^{\infty} \frac{1}{r^{n+1}} \int d^3r' r'^n P_n(\cos r) \rho(\vec{r}')$$

densidade de carga:

$$\rho(\vec{r}) = \frac{Q}{2\pi a^2} \delta(r-a) \delta(\theta - \pi/2) = \frac{\lambda}{a} \delta(r-a) \delta(\theta - \pi/2)$$

notas:

$$\int d^3r \rho(\vec{r}) = \int \frac{Q}{2\pi a^2} \delta(r-a) \delta(\theta - \pi/2) r^2 \sin\theta \, dr \, d\theta \, d\phi = Q !$$

relação entre ângulos  $r$  e  $\theta'$ : verifica-se que

$$P_n(\cos r) = \frac{4\pi}{2n+1} \sum_{m=-n}^n (-1)^m Y_n^m(\theta, \varphi) Y_n^{-m}(\theta', \varphi')$$

$$\text{ou } P_n(\cos r) = P_n(\cos \theta) P_n(\cos \theta') + \quad (99.2)$$

$$+ 2 \sum_{m=1}^n \frac{(n-m)!}{(n+m)!} P_n^m(\cos \theta) P_n^m(\cos \theta') \cos(m(\varphi - \varphi'))$$

Eq. (99.2) : Teorema de adição pr harmônicos esféricos

$$\hookrightarrow V(\vec{r}) = \frac{1}{4\pi\epsilon_0} \sum_{n=0}^{\infty} \frac{1}{r^{n+1}} \int \frac{r'^{n+2} P_n(\cos r)}{2\pi a^2} \times$$

$$\times \delta(r'-a) \delta(\theta'-\pi/2) \sin\theta' dr' d\theta' d\varphi'$$

Como  $P_n(\vec{r}) = P_n(r, \theta) \rightarrow$  segundo termo (99.2)  $\neq 0$  se  $m=0$

$$\hookrightarrow V(\vec{r}) = \frac{1}{4\pi\epsilon_0} \sum_{n=0}^{\infty} \frac{1}{r^{n+1}} \int \frac{r'^{n+2} P_n(\cos \theta) P_n(\cos \theta')}{2\pi a^2} \times$$

$$\times \delta(r'-a) \delta(\theta'-\pi/2) \sin\theta' dr' d\theta' d\varphi'$$

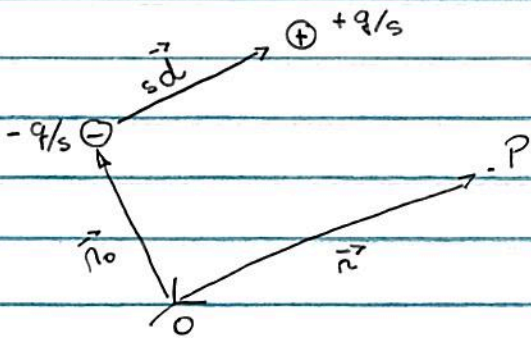
$$= \frac{1}{4\pi\epsilon_0} \sum_n \frac{a^{n+1}}{r^{n+1}} \frac{Q}{a} P_n(0) P_n(\cos \theta)$$

$$= \sum_{n=0}^{\infty} \frac{Q P_n(0)}{4\pi\epsilon_0 a} \left(\frac{a}{r}\right)^{n+1} P_n(\cos \theta), \quad r > a$$

Obs. : se  $\vec{r} \perp \hat{z} \rightarrow r = \theta' !$



• Dipolo elétrico pontual,



considerar dipolo elétrico : carga  $-q/s$  em  $\vec{r}_0$   
 "  $+q/s$  em  $\vec{r}_0 + s\vec{d}$ ,  $s > 0$   
 $\hookrightarrow \vec{p} = \frac{q}{s} s\vec{d} = q\vec{d}$

$$\hookrightarrow V(\vec{r}) = \frac{1}{4\pi\epsilon_0} \left( \frac{q/s}{|\vec{r} - \vec{r}_0 - s\vec{d}|} - \frac{q/s}{|\vec{r} - \vec{r}_0|} \right)$$

vamos considerar o  $\lim_{s \rightarrow 0}$ , i.e.,  $q/s \rightarrow +\infty$  (\*)  
 $s\vec{d} \rightarrow 0$ , mas  $\vec{p} = \text{cte}$

$$\hookrightarrow V(\vec{r}) = - \frac{1}{4\pi\epsilon_0} \frac{\vec{p} \cdot \vec{\nabla}}{|\vec{r} - \vec{r}_0|} = \frac{1}{4\pi\epsilon_0} \frac{\vec{p} \cdot (\vec{r} - \vec{r}_0)}{|\vec{r} - \vec{r}_0|^3} \quad (97.1)$$

notas : Eq. (92.3) = Eq. (97.1) c/  $\vec{r}_0 = 0$ , entretanto

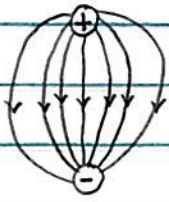
(92.3) válida p/  $r \gg d$

(97.1) " "  $\nabla \vec{r}$  pois  $r \gg s d$  !

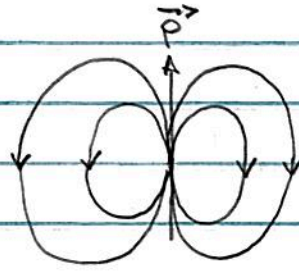
$\lim_{s \rightarrow 0} \rightarrow$  dipolo pontual

ideia dipolo pontual : representação p/ distribuição de carga neutra cujo raio  $\ll$  comprimento característico sistema

comparar linhas de campo:



dipolo



dipolo pontual

em princípio, o campo elétrico de um dipolo pontual em  $\vec{r}_0$  é dado pela Eq. (92.3), i.e.,

$$\vec{E}(\vec{r}) = \frac{1}{4\pi\epsilon_0 |\vec{r} - \vec{r}_0|^3} (3(\vec{p} \cdot \hat{n})\hat{n} - \vec{p}) \quad (98.1)$$

$$\text{onde } \hat{n} = \frac{\vec{r} - \vec{r}_0}{|\vec{r} - \vec{r}_0|}$$

entretanto, (98.1) não está de acordo com Eq. (98.2) abaixo.

- Se  $\vec{E}(\vec{r})$  é o campo elétrico associado a uma distribuição de carga  $\rho(\vec{r})$   $\subset$  esfera raio  $R$ , volume  $\mathcal{V}$

$$\hookrightarrow \vec{p} = -3\epsilon_0 \int_{\mathcal{V}} d^3r \vec{E}(\vec{r}) \quad : \text{ momento de dipolo } p(\vec{r}) \quad (98.2)$$

• Eq. (92.2)

$$\hookrightarrow \int d^3r \vec{E}(\vec{r}) = \frac{\rho}{4\pi\epsilon_0} \int n (2\cos\theta \hat{n} + \sin\theta \hat{\theta}) \sin\theta d\theta d\phi = \mathbf{I}$$

como  $\hat{n}$  e  $\hat{\theta}$  não são fixos, é necessário expressá-los em termos de  $\hat{x}, \hat{y}, \hat{z}$  p/ determinar a integral



como (veja pg. 211)

$$\sin\theta \cos\theta \hat{n} = \sin\theta \cos\theta (\sin\theta \cos\phi \hat{x} + \sin\theta \sin\phi \hat{y} + \cos\theta \hat{z})$$

$$\sin^2\theta \hat{\theta} = \sin^2\theta (\cos\theta \cos\phi \hat{x} + \cos\theta \sin\phi \hat{y} - \sin\theta \hat{z})$$

↳ integral  $I = 0!$

↳ campo elétrico dipolo pontual:

$$\vec{E}(\vec{r}) = \frac{1}{4\pi\epsilon_0} \left( \frac{3(\vec{p} \cdot \hat{r})\hat{r} - \vec{p}}{|\vec{r}|^3} - \frac{4\pi}{3} \vec{p} \delta(\vec{r} - \vec{r}_0) \right) \quad (99.1)$$

notas: Eq. (99.1) ok c/ (98.2)!

Obs.: veja Sec. 4.2, Zangwill p/ a demonstração Eq. (98.2).  
ou P 3.42, 6.

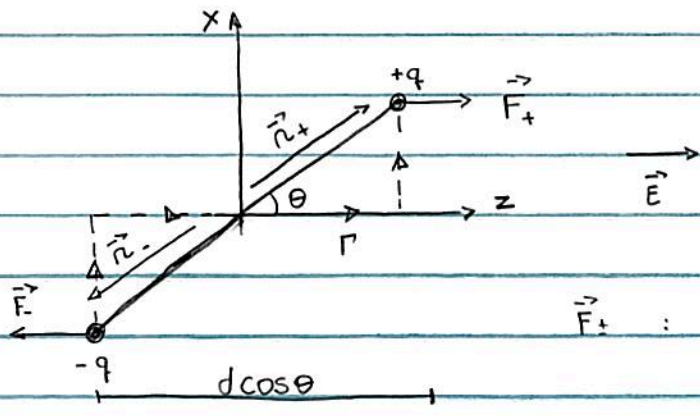
• Considerar dipolo  $\vec{p}$  sob campo elétrico  $\vec{E} = \vec{E}(\vec{r})$ ;

Vamos considerar 2 casos: (i)  $\vec{E}$  uniforme

(ii)  $\vec{E}$  não-uniforme

e determinar força e torque sob dipolo  $\vec{p}$ .

(i)  $\vec{E}$  uniforme



$\vec{F}_+$  : força sob carga  $+q$

$$\vec{F}_+ = q\vec{E} = +qE\hat{z}$$

$$\vec{F}_- = -q\vec{E} = -qE\hat{z} = -\vec{F}_+$$

$\rightarrow \vec{F}_T = \vec{F}_+ + \vec{F}_- = 0$  : força total sob dipolo

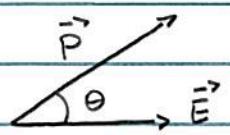
$$\text{Como } \vec{n}_+ = \frac{1}{2}d(\cos\theta\hat{x} + \sin\theta\hat{y}) = \frac{1}{2}\vec{d} = -\vec{n}_-$$

$$\hookrightarrow \vec{\tau} = \vec{n}_+ \times \vec{F}_+ + \vec{n}_- \times \vec{F}_- = (2\vec{n}_+) \times \vec{F}_+ = q\vec{d} \times \vec{E} \quad (99.2)$$

$$= \vec{p} \times \vec{E} = -qdE \sin\theta \hat{y}$$

: Torque total sob dipolo

notas:



como  $\vec{p} \propto -\hat{y}$

$\hookrightarrow$  efeito  $\vec{E}$  sob  $\vec{p}$  :  $\vec{p} \parallel \vec{E}$  !

- energia potencial total,

$$U = +qV(\vec{n}_+) - qV(\vec{n}_-) = q(V(\vec{n}_+) - V(\vec{n}_-))$$

$$= -q \int_{n_-, r}^{n_+, r} \vec{E} \cdot d\vec{\ell} = -q \int_{n_-, r}^{n_+, r} (E\hat{z}) \cdot (dz\hat{z}) = -qE \int_{n_-}^{n_+} dz$$

veja figura acima

$$= -qdE \cos\theta$$

$$\hookrightarrow U = -\vec{p} \cdot \vec{E} \quad (99.3)$$



(ii)  $\vec{E}$  não uniforme (Zangwill)

considerar um dipolo pontual  $\vec{p}$  em  $\vec{r}=0$ ;  
 nesse caso, temos que Eq. (97.1):

$$V(\vec{r}) = -\frac{1}{4\pi\epsilon_0} \frac{\vec{p} \cdot \vec{\nabla}}{r} \quad ; \quad \forall \vec{r} \quad (99.4)$$

⊕ Eq. de Poisson

$$\hookrightarrow \rho_D(\vec{r}) = -\epsilon_0 \nabla^2 V(\vec{r}) = \frac{1}{4\pi} (\vec{p} \cdot \vec{\nabla}) \underbrace{(\nabla^2 \frac{1}{r})}_{-4\pi \delta(\vec{r})} = -(\vec{p} \cdot \vec{\nabla}) \delta(\vec{r}) \quad (99.5)$$

- Eq. (105.2):
- $\rho(\vec{r})$  tal que  $V(\vec{r})$  correspondente = (99.5)
  - $\rho_D(\vec{r}) \neq \rho(\vec{r})$  original
  - funções auxiliares!

- Considerar dipolo pontual em  $\vec{r} \oplus \vec{E} = \vec{E}(\vec{r})$ ,

$$\vec{F} = \int d^3r' \vec{E}(\vec{r}') \rho_D(\vec{r}') \quad : \quad \text{força total sob dipolo pontual}$$

$$= - \int d^3r' \vec{E}(\vec{r}') (\vec{p} \cdot \vec{\nabla}') \delta(\vec{r} - \vec{r}')$$

integração por partes!

$$\begin{aligned} &= - \oint ds \underbrace{\vec{E}(\vec{r}') (\vec{p} \cdot \vec{\nabla}') \delta(\vec{r} - \vec{r}')}_0 + \int d^3r' \delta(\vec{r} - \vec{r}') (\vec{p} \cdot \vec{\nabla}') \vec{E}(\vec{r}') \\ &= (\vec{p} \cdot \vec{\nabla}) \vec{E}(\vec{r}) \end{aligned} \quad (99.6)$$

- de modo análogo, torque sob o dipolo pontual,

$$\begin{aligned}\vec{N} &= \int d^3n' \vec{n}' \times (\vec{E}(\vec{n}') \rho_D(\vec{n}')) = - \int d^3n' \vec{n}' \times (\vec{E}(\vec{n}') (\vec{p} \cdot \vec{\nabla}') \delta(\vec{n} - \vec{n}')) \\ &= \int d^3n' \delta(\vec{n} - \vec{n}') (\vec{p} \cdot \vec{\nabla}') (\vec{n}' \times \vec{E}(\vec{n}')) = (\vec{p} \cdot \vec{\nabla}) (\vec{n} \times \vec{E}(\vec{n}))\end{aligned}$$

notas:

$$\begin{aligned}N_k &= (\rho_i \partial_i) (\epsilon_{k\ell m} n_\ell E_m(\vec{n})) = \epsilon_{k\ell m} \rho_i \underbrace{\left( E_m \partial_i n_\ell + n_\ell \partial_i E_m \right)}_{\text{div}} \\ &= \epsilon_{k\ell m} \rho_\ell E_m + \epsilon_{k\ell m} n_\ell (\rho_i \partial_i) E_m\end{aligned}$$

$$\hookrightarrow \vec{N} = \vec{p} \times \vec{E} + \vec{n} \times \underbrace{(\vec{p} \cdot \vec{\nabla}) \vec{E}}_{\vec{F}} = \vec{p} \times \vec{E} + \vec{n} \times \vec{F} \quad (99.7)$$

notas: se dipolo pontual em  $\vec{n}=0 \rightarrow$  Eq. (99.7) = (99.2)

novamente efeito  $\vec{E}(\vec{n})$  sob  $\vec{p}$ :  $\vec{p} \nparallel \vec{E}$ !

- sobre a energia potencial total,

$$U = \int d^3n' \underbrace{v(\vec{n}')}_{\text{associado } \vec{E}_{\text{ext}}!} \rho_D(\vec{n}')$$

$$= - \int d^3n' v(\vec{n}') (\vec{p} \cdot \vec{\nabla}') \delta(\vec{n} - \vec{n}') = \int d^3n' \delta(\vec{n} - \vec{n}') (\vec{p} \cdot \vec{\nabla}') v(\vec{n}')$$

$$\hookrightarrow U = -\vec{p} \cdot \vec{E}(\vec{n}) \quad (99.8)$$

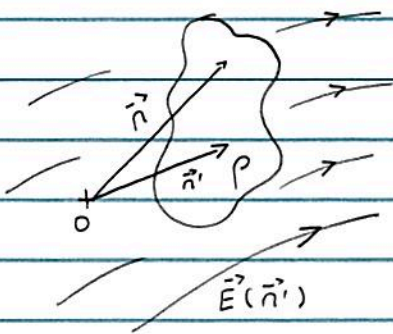


• Alternativa (iii)  $\vec{E}$  não uniforme

considerar  $\rho(\vec{r})$  sob campo elétrico  $\vec{E}(\vec{r})$

hipóteses: (1)  $\rho \sim$  distribuição neutra de cargas

(2)  $\vec{E}(\vec{r}') : "$  variação espacial lenta"



• Lembrar: série de Taylor função escalar várias variáveis

$$f(\vec{r} + \vec{a}) = \sum_{n \geq 0} \frac{1}{n!} (\vec{a} \cdot \vec{\nabla})^n f(\vec{r})$$

$$\text{se } \vec{a} = \vec{r}' - \vec{r} \rightarrow f(\vec{r}') = f(\vec{r}) + [(\vec{r}' - \vec{r}) \cdot \vec{\nabla}] f(\vec{r}) + \dots$$

para função vetorial  $\vec{F}(\vec{r})$ , temos que

$$F_i(\vec{r}') = F_i(\vec{r}) + [(\vec{r}' - \vec{r}) \cdot \vec{\nabla}] F_i(\vec{r}) + \dots ; i = x, y, z$$

$$\text{ou } \vec{F}(\vec{r}') = \vec{F}(\vec{r}) + [(\vec{r}' - \vec{r}) \cdot \vec{\nabla}] \vec{F}(\vec{r}) + \dots$$

notas:

(2)  $\rightarrow$  expansão Taylor  $\vec{E}$  em torno pto de referência  $\vec{r}$ , i.e.,

$$\vec{E}(\vec{r}) = \vec{E}(\vec{r}) + [(\vec{r}' - \vec{r}) \cdot \vec{\nabla}] \vec{E}(\vec{r}) + \dots$$

$$\hookrightarrow \vec{F} = \int d^3r' \rho(\vec{r}') \vec{E}(\vec{r}') \quad : \text{ função sob } \rho \text{ devido } \vec{E}$$

$$= \left[ \vec{E}(\vec{r}) + (\vec{r} \cdot \vec{\nabla}) \vec{E}(\vec{r}) \right] \underbrace{\int d^3r' \rho(\vec{r}')}_{= 0, \text{ hipótese (1)}} +$$

$$+ \underbrace{\int d^3r' \rho(\vec{r}') (\vec{r}' \cdot \vec{\nabla}) \vec{E}(\vec{r}')}_{\vec{p}} = (\vec{p} \cdot \vec{\nabla}) \vec{E}(\vec{r}) \quad : \text{ Eq. (99.6) !}$$